

**ANALISIS HUBUNGAN KUANTITATIF STRUKTUR DAN AKTIVITAS
SENYAWA TURUNAN AMINOALKANOL XANTON SEBAGAI
ANTIKANKER MENGGUNAKAN METODE SEMIEMPIRIS
*AUSTIN MODEL 1***



SKRIPSI

Diajukan Untuk Memenuhi Salah Satu Syarat Meraih Gelar Sarjana Sains
Jurusan Kimia pada Fakultas Sains dan Teknologi
Universitas Islam Negeri Alauddin Makassar

Oleh:

MUH. TAUFIQ M

60500117041

**FAKULTAS SAINS DAN TEKNOLOGI
UNIVERSITAS ISLAM NEGERI ALAUDDIN
MAKASSAR
2021**

PERNYATAAN KEASLIAN SKRIPSI

Mahasiswa yang bertanda tangan dibawah ini:

Nama : Muh. Taufiq M

NIM : 60500117041

Tempat dan Tgl.Lahir : Limbung, 19 Februari 1998

Jurusan : Kimia

Judul : Analisis Hubungan Kuantitatif Struktur dan Aktivitas Senyawa Turunan Aminoalkanol Xanton sebagai Antikanker Menggunakan Metode Semiempiris Austin Model 1

Menyatakan dengan sesungguhnya dan penuh kesadaran bahwa skripsi ini benar adalah hasil karya sendiri. Jika kemudian hari terbukti bahwa skripsi ini merupakan duplikat, tiruan, plagiat, atau dibuat oleh orang lain, sebagian atau seluruhnya, maka skripsi dan gelar yang diperoleh karenanya batal demi hukum.

UNIVERSITAS ISLAM NEGERI Samata-Gowa, Februari 2021

Penyusun

Muh. Taufiq M
NIM. 60500117041

LEMBAR PENGESAHAN SKRIPSI

Skripsi yang berjudul “Analisis Hubungan Kuantitatif Struktur dan Aktivitas Senyawa Turunan Aminoalkanol Xanton sebagai Antikanker Menggunakan Metode Semiempiris Austin Model I”, yang disusun oleh **Muh. Taufiq M, NIM: 60500117041**, mahasiswa jurusan kimia pada Fakultas Sains dan Teknologi UIN Alauddin Makassar, telah diuji dan dipertahankan dalam sidang munaqasyah yang diselenggarakan pada hari Senin, 22 Februari 2021 bertepatan dengan 10 Rajab 1442 H, dinyatakan telah dapat diterima sebagai salah satu syarat untuk memperoleh gelar Sarjana dalam Ilmu Kimia, Jurusan Kimia.

Samata-Gowa, Senin, 22 Februari 2021 M
10 Rajab 1442 H

DEWAN PENGUJI

Ketua	: Prof. Dr. Muhammad Halifah Mustami, M.Pd.	(.....)
Sekretaris	: Dr. Rismawaty Sikanna S.Si., M.Si.	(.....)
Munaqys I	: Asriani Ilyas, S.Si., M.Si.	(.....)
Munaqys 2	: Dr. Hj. Rahmi Damis, M.Ag.	(.....)
Pembimbing I	: Aisyah, S.Si., M.Si.	(.....)
Pembimbing 2	: Firnanelty, S.Si., M.Si.	(.....)

Diketahui Oleh:
Dekan Fakultas Sains dan Teknologi
UIN Alauddin Makassar

Prof. Dr. Muhammad Halifah Mustami, M. Pd
NIP. 197104122000031001



PERSETUJUAN PEMBIMBING

Pembimbing penelitian Saudara Muh. Taufiq M, NIM 60500117041, mahasiswa Jurusan Kimia pada Fakultas Sains dan Teknologi Universitas Islam Negeri Alauddin Makassar. Setelah meneliti dan mengoreksi secara seksama proposal skripsi yang berjudul “Hubungan Kuantitatif Struktur dan Aktivitas Senyawa Turunan Aminoalkanol Xanton sebagai Antikanker Menggunakan Metode Semiempiris *Austin Model I*” memandang bahwa proposal skripsi tersebut telah memenuhi syarat-syarat ilmiah dan dapat disetujui untuk diseminarkan.

Demikian persetujuan ini diberikan untuk diproses lebih lanjut.

Gowa, Februari 2021

Pembimbing I



Aisyah, S.Si., M.Si.
NIP. 19810420 200604 2 002

Pembimbing II



Firnelty, S.Si., M.Si.
NIP. 19910214 201903 2 019

KATA PENGANTAR

بِسْمِ اللَّهِ الرَّحْمَنِ الرَّحِيمِ

Alhamdulillah robbil ‘alamin. Segala puji atas kebesaran sang khalik Allah swt. yang telah menciptakan alam semesta dalam suatu keteraturan hingga dari lisan terpetik berjuta rasa syukur atas limpahan rahmat dan hidayah-Nya, sehingga kami diberikan kekuatan dan kesempatan menyelesaikan skripsi dengan judul “**Analisis Hubungan Kuantitatif Struktur dan Aktivitas Senyawa Turunan Aminoalkanol Xanton sebagai Antikanker Menggunakan Metode Semiempiris Austin Model 1**”. Shalawat serta salam tak lupa pula penulis kirimkan kepada baginda Rasulullah Muhammad saw. yang karena perjuangannya kita dapat menikmati cahaya Islam yang terang benderang seperti sekarang ini.

Selama proses penyusunan skripsi ini tidak terlepas dari berbagai hambatan dan tantangan, tetapi semuanya dapat dilalui karena adanya dukungan, motivasi serta do’a dari berbagai pihak. Ucapan terima kasih yang tulus penulis berikan kepada:

1. Bapak Prof. H. Hamdan, MA., Ph.D. selaku Rektor Universitas Islam Negeri Alauddin Makassar.
2. Bapak Prof. Dr. Muhammad Halifah Mustami, M.Pd. selaku Dekan Fakultas Sains dan Teknologi Universitas Islam Negeri Alauddin Makassar.
3. Bapak Dr. H. Asri Saleh, S.T., M.Si. selaku Ketua Jurusan Kimia Universitas Islam Negeri Alauddin Makassar.
4. Ibu Dr. Rismawaty Sikanna, S.Si., M.Si. selaku Sekretaris Jurusan Kimia Fakultas Sains dan Teknologi Universitas Islam Negeri Alauddin Makassar.
5. Ibu Aisyah, S.Si., M.Si. selaku dosen pembimbing I yang telah meluangkan waktu, tenaga, dan pikiran dalam penyusunan skripsi ini.

6. Ibu Firnanelty, S.Si., M.Si. selaku dosen pembimbing II yang selalu meluangkan waktu dan pikiran dalam penyusunan skripsi ini.
7. Ibu Asriani Ilyas, S.Si., M.Si. selaku penguji I yang senantiasa memberi kritik dan saran dalam melengkapi skripsi ini.
8. Ibu Dr. Hj. Rahmi Damis, M.Ag. selaku penguji II yang senantiasa memberi kritik dan saran keagamaan dalam melengkapi skripsi ini.
9. Bapak dan Ibu Dosen Jurusan Kimia Fakultas Sains dan Teknologi atas ilmu-ilmu yang telah diberikan selama menempuh pendidikan di bangku kuliah.
10. Para Laboran Jurusan Kimia Fakultas Sains dan Teknologi yang senantiasa memberikan bimbingan selama menempuh pendidikan di bangku kuliah.
11. Kedua orangtua bapak dan ibu tercinta, Bapak Muhsin dan Ibu Suhriati yang telah memberikan kasih sayang, do'a, semangat, dan dukungan moril maupun materil.
12. Tim Penelitian HKSA Muhammad Risjal dan Arnadi Nirwan yang selalu saling memberi dukungan dan semangat selama penelitian.
13. Tim Organik ORBITAL 17 yang selalu memberi dukungan dan semangat dalam menyelesaikan skripsi ini.
14. Teman-teman keluarga besar ORBITAL 17 yang senantiasa memberi dukungan dalam menyelesaikan skripsi ini.
15. Orang-orang yang tidak bisa saya sebutkan satu persatu telah membantu selama proses penyusunan skripsi ini.

Gowa, Februari 2021

Penulis,

Muh. Taufiq M

DAFTAR ISI

HALAMAN JUDUL	i
PERNYATAAN KEASLIAN SKRIPSI	ii
LEMBAR PENGESAHAN SKRIPSI.....	iii
PERSETUJUAN PEMBIMBING	iv
KATA PENGANTAR	v-vi
DAFTAR ISI	vii-viii
DAFTAR GAMBAR	ix
DAFTAR TABEL	x
ABSTRAK	xi
<i>ABSTRACT</i>	xii
BAB I PENDAHULUAN.....	1-7
<i>A. Latar Belakang</i>	1-6
<i>B. Rumusan Masalah</i>	6-7
<i>C. Tujuan Penelitian</i>	7
<i>D. Manfaat Penelitian</i>	7
BAB II TINJAUAN PUSTAKA.....	8-24
<i>A. Kanker</i>	8-10
<i>B. Xanton</i>	10-14
<i>C. Hubungan Kuantitatif Struktur-Aktivitas</i>	14-17
<i>D. Deskriptor</i>	18-23
<i>E. Analisis Statistik dalam HKSA</i>	23-24
BAB III METODE PENELITIAN.....	25-30
<i>A. Waktu dan Tempat</i>	25

<i>B. Alat dan Bahan</i>	25
<i>C. Prosedur Penelitian</i>	26-30
BAB IV HASIL DAN PEMBAHASAN	31-49
<i>A. Hasil Penelitian</i>	31-36
<i>B. Pembahasan</i>	36-49
BAB V PENUTUP.....	50
<i>A. Kesimpulan</i>	50
<i>B. Saran</i>	50
DAFTAR PUSTAKA	51-55
LAMPIRAN.....	56-66



DAFTAR GAMBAR

	Hal
Gambar 2.1 Struktur Xanton	11
Gambar 3.1 Pemodelan Struktur pada <i>ChemSketch</i>	26
Gambar 3.2 Pemodelan Struktur 3D pada <i>HyperChem</i>	26
Gambar 3.3 Optimasi Geometri Metode <i>Austin Model 1</i>	27
Gambar 3.4 Deskriptor pada <i>HyperChem</i>	28
Gambar 4.1 Grafik Korelasi Perbandingan Log IC ₅₀ Eksperimen dengan Log IC ₅₀ Prediksi.....	36



DAFTAR TABEL

	Hal
Tabel 2.1 Nama Turunan Senyawa dan Nilai Aktivitas Senyawa Turunan Aminoalkanol Xanton	13-14
Tabel 3.1 Deskriptor yang Digunakan	28-29
Tabel 4.1 Struktur 3D pada <i>HyperChem</i>	31
Tabel 4.2 Nilai Deskriptor <i>Training Sets</i>	32
Tabel 4.3 Nilai Muatan Bersih Atom	32
Tabel 4.4 Nilai Kombinasi Deskriptor	33
Tabel 4.5 Model Persamaan HKSA	33
Tabel 4.6 Nilai PRESS <i>Training Sets</i>	34
Tabel 4.7 Nilai Deskriptor <i>Test Sets</i>	34
Tabel 4.8 Nilai PRESS <i>Test Sets</i>	34
Tabel 4.9 Hasil Analisa Persamaan HKSA Terbaik	35
Tabel 4.10 Nama Senyawa dan Nilai Aktivitas Turunan Baru Aminoalkanol Xanton	35
Tabel 4.11 Nilai Deskriptor Senyawa Modifikasi	35

ABSTRAK

Nama : Muh. Taufiq M
NIM : 60500117041
Jurusan : Kimia
Fakultas : Sains dan Teknologi
Judul : Analisis Hubungan Kuantitatif Struktur dan Aktivitas Senyawa Turunan Aminoalkanol Xanton sebagai Antikanker Menggunakan Metode Semiempiris *Austin Model 1*

Telah dilakukan penelitian analisis hubungan kuantitatif struktur dan aktivitas senyawa turunan aminoalkanol xanton. Tujuan dilakukan penelitian ini yaitu untuk mengetahui model persamaan HKSA terbaik senyawa turunan aminoalkanol xanton sebagai antikanker. Metode yang digunakan dalam penelitian ini adalah metode semiempiris *Austin Model 1*. Pemilihan model persamaan terbaik dilakukan dengan analisis statistik regresi multilinier terhadap data deskriptor yang telah dihitung. Dari hasil penelitian diperoleh Model 3 sebagai model persamaan HKSA terpilih dengan nilai $\text{Log IC}_{50} = 4.308 - (0.00004 \cdot \text{ET}) - (0.014 \cdot \text{SAG}) + (0.174 \cdot \text{MD}) + (0.00002 \cdot \Delta H_f) + (14.214 \cdot qC1) + (1.137 \cdot qC2) - (13.559 \cdot qC3) - (23.659 \cdot qC10)$ dengan $R = 0.997$; $R^2 = 0.995$; $SE = 0.067$; $F_{\text{hitung}} = 67.874$; $F_{\text{tabel}} = 8.845$; $F_{\text{hitung}}/F_{\text{tabel}} = 7.674$; dan $\text{PRESS} = 2.02$. Penelitian ini menunjukkan bahwa posisi atom karbon C1, C2, C3, dan C10 sebagai pusat aktif senyawa turunan aminoalkanol xanton sehingga pada posisi ini substituen akan lebih berpotensi dalam meningkatkan aktivitas antikanker.

Kata Kunci: HKSA, AM1, xanton, antikanker

ABSTRACT

Name : Muh. Taufiq M
NIM : 60500117041
Majors : Chemistry
Faculty : Science and Technology
Topic : *The Analysis of Quantitative Relationship on Structure and Activity of Xanthone Aminoalkanol Derivatives as an Anticancer using the Austin Model 1 Semiempirical Method*

The research has been conducted to analyze the quantitative relationship of the structure and activity of xanthone aminoalkanol derivatives. The purpose of this study was to determine the best QSAR equation model for xanthone aminoalkanol derivatives as an anticancer. The method used on this research is the Austin Model 1 semiempirical method. Analysis of the best equation model is carried out by multilinear regression statistical analysis of the calculated data descriptors. The results obtained Model 3 as the QSAR equation model selected with value $\text{Log IC}_{50} = 4.308 - (0.00004*ET) - (0.014*SAG) + (0.174*MD) + (0.00002*\Delta H_f) + (14.214*qC1) + (1.137*qC2) - (13.559*qC3) - (23.659*qC10)$ with $R = 0.997$; $R^2 = 0.995$; $SE = 0.067$; $F_{count} = 67.874$; $F_{table} = 8.845$; $F_{count}/F_{table} = 7.674$; and $PRESS = 2.02$. This research also shows that the position of carbon atoms C1, C2, C3, and C10 as the active center of the xanthone aminoalkanol derivative compound so that in this position the substitution will have more potential to increase anti cancer activity.

Keywords: QSAR, AM1, xanthone, anti cancer

BAB I

PENDAHULUAN

A. Latar Belakang

Kanker sebagai salah satu penyakit yang dapat menyebabkan kematian yang relatif tinggi di dunia. Penyakit kanker bersifat degenerasi yang banyak ditakuti oleh masyarakat karena jumlah kejadian terus mengalami peningkatan. Kanker merupakan suatu penyakit sel yang pertumbuhan dan pertambahan selnya relatif cepat. Salah satu senyawa yang berfungsi sebagai pencegah penyakit kanker yaitu senyawa xanton. Senyawa xanton adalah metabolit sekunder fenolik yang termasuk golongan flavonoid yang mudah larut dalam air. Fenolik sebagai salah satu kelompok senyawa yang memiliki struktur bervariasi dan di dalam strukturnya mengandung gugus fenol. Senyawa xanton memiliki turunan senyawa yang memberikan efek farmakologi seperti antikanker, antivirus dan antiinflamasi (Prasetiawati, dkk., 2019: 46).

Aktivitas farmakologi senyawa xanton berfungsi sebagai antikanker dengan aktivitas yang dapat menyebabkan kematian membran sel serta senyawa heterosiklik tersebut memiliki rangka utama *dibenzo- γ -pyrone*. Xanton pada tanaman dapat berfungsi sebagai antikanker dengan menginduksi kematian sel organisme dari perkembangan dan pertumbuhan alaminya. Zat aktif pada senyawa xanton dapat merangsang pembentukan sel baru yang rusak dengan cepat sehingga berfungsi untuk menangkal radikal bebas (Aulani dan Muchtaridi, 2018: 346). Turunan senyawa xanton dapat digunakan dalam terapi dan efek toksisitasnya untuk meningkatkan aktivitas antikanker (Susanti, 2019: 47). Selain itu, senyawa xanton juga merupakan salah satu genus yang berpotensi dalam melawan penyakit seperti *Alzheimer* dan

parkinson (Moon, dkk., 2015: 375). Beberapa jenis tanaman yang bermanfaat telah dijelaskan Allah swt. dalam QS An-Nahl/16: 11.

يُنْبِتُ لَكُمْ بِهِ الزَّرْعَ وَالزَّيْتُونَ وَالنَّخِيلَ وَالْأَعْنَابَ وَمِنْ كُلِّ الثَّمَرَاتِ إِنَّ فِي ذَلِكَ لَآيَةً لِّقَوْمٍ يَتَفَكَّرُونَ

Terjemahnya:

“Dia menumbuhkan bagi kamu dengan air hujan itu tanam-tanaman; zaitun, korma, anggur dan segala macam buah-buahan. Sesungguhnya pada yang demikian itu benar-benar ada tanda (kekuasaan Allah) bagi kaum yang memikirkan” (Kementerian Agama, 2013).

Menurut tafsir Al-Maududi, dan dengan demikian ia menanam untukmu tanaman, zaitun, kurma, tanaman merambat, dan berbagai jenis buah-buahan lainnya. Pasti ada pertanda baik dalam hal ini bagi orang-orang yang merenung. Ayat tersebut menjelaskan bahwa ciptaan Allah swt. atas segala sesuatunya tidak ada yang sia-sia. Salah satu ciptaan Allah swt. adalah buah manggis. Selain manfaat dari buahnya, bagian kulit juga bermanfaat dalam penyembuhan penyakit. Allah swt. menganjurkan hamba-Nya agar senantiasa bersyukur, sehingga manusia diberi akal dalam memanfaatkan tumbuhan yang memiliki aktivitas farmakologi obat. Penyembuh dari segala penyakit sesungguhnya berasal dari Allah swt. Kita hanya dianjurkan untuk berikhtiar dan salah satu ikhtiar yang dapat dilakukan dengan memanfaatkan kulit buah manggis sebagai obat. Telah dijelaskan Allah swt. dalam QS Yunus/10: 57.

يَأْتِيهَا النَّاسُ قَدْ جَاءَتْكُمْ مَوْعِظَةٌ مِّن رَّبِّكُمْ وَشِفَاءٌ لِّمَا فِي الصُّدُورِ وَهُدًى وَرَحْمَةٌ
لِّلْمُؤْمِنِينَ

Terjemahnya:

“Hai manusia, sesungguhnya telah datang kepadamu pelajaran dari Tuhanmu dan penyembuh bagi penyakit-penyakit (yang berada) dalam dada dan petunjuk serta rahmat bagi orang-orang yang beriman” (Kementerian Agama, 2013).

Menurut tafsir Jalalain, Hai manusia yakni penduduk Mekah (sesungguhnya telah datang kepada kalian pelajaran dari Rabb kalian) berupa Alkitab yang di dalamnya dijelaskan hal-hal yang bermanfaat dan hal-hal yang mudarat bagi diri kalian, yaitu berupa kitab Al-Qur'an (dan penyembuh) dan obat (bagi penyakit-penyakit yang ada di dalam dada) yakni penyakit akidah yang rusak dan keragu-raguan (dan petunjuk) dari kesesatan (serta rahmat bagi orang-orang yang beriman) kepadanya. Ayat tersebut menjelaskan petunjuk yang telah diberikan kepada manusia tentang penyembuhan dari berbagai penyakit medis seperti kanker. Pengobatan penyakit kanker salah satunya dapat dilakukan seperti menggunakan kulit buah manggis yang memiliki kandungan senyawa xanton.

Senyawa xanton dapat melawan berbagai penyakit yang terdapat di dalam tubuh. Sebagaimana Allah swt. telah menciptakan segala sesuatu agar manusia dapat mengolah ciptaan dengan sebaik-baiknya. Oleh karena itu, Allah menurunkan agama serta para Nabi yang telah mendapat ridho dan petunjuk agar manusia mampu meneladani sifat kebaikan dari utusan-utusan Allah swt. Berdoa dalam hal ini yaitu manusia dituntut untuk tidak berputus asa dalam memohon sesuatu kepada Allah agar permintaannya dapat dikabulkan oleh Allah, terutama dalam hal diberikan kesembuhan dari suatu penyakit. Hendaklah manusia mengetahui bahwa setiap penyakit pasti ada penawarnya. Manusia sebagai salah satu ciptaan-Nya diharapkan mampu memanfaatkan dengan baik apa yang telah diberikan seperti memanfaatkan kulit buah manggis yang mengandung senyawa xanton sebagai antikanker.

Senyawa turunan xanton yang bermanfaat untuk pengobatan penyakit kanker dapat didesain melalui pemodelan kimia komputasi. Kimia komputasi sebagai salah satu materi kimia yang digunakan berdasarkan perhitungan yang mencakup struktur

atom (Asmara, dkk., 2015: 126). Kimia komputasi dapat memberikan solusi dalam mendesain suatu senyawa obat selain melalui eksperimen. Salah satu metode yang sering digunakan dalam desain senyawa obat yaitu Hubungan Kuantitatif Struktur dan Aktivitas (HKSA). Metode HKSA menjelaskan tentang aktivitas biologis yang diberikan dan dapat bervariasi sebagai fungsi dari deskriptor molekul (Mahani & Sabermahani, 2012: 2628).

Senyawa yang akan didesain menggunakan metode HKSA harus berdasarkan hubungan antara sifat fisika-kimia dengan aktivitas biologis senyawa untuk memprediksi aktivitas teoritis dari suatu senyawa. Hasil yang diperoleh pada penggunaan metode HKSA adalah model persamaan yang telah diolah secara statistik dengan metode regresi multilinier (Dewi dan Sanjaya, 2018: 10). Salah satu metode yang biasa digunakan adalah metode semiempiris. Metode tersebut dipilih karena parameter yang dihitung yaitu elektron valensi dari atom-atom sehingga waktu analisis yang dibutuhkan relatif singkat (Asmara, 2015: 126).

Senyawa baru dapat didesain berdasarkan pemodelan molekul melalui kimia komputasi. Pemodelan ini didasarkan pada perhitungan kuantum mekanik yaitu metode semiempiris *Austin Model 1* (AM1). Metode semiempiris AM1 merupakan metode yang biasa digunakan untuk pemodelan molekul karena hasil yang diperoleh lebih efisien dan akurat (Wibowo, dkk., 2017: 132). Kajian HKSA sering digunakan oleh peneliti terdahulu dalam memprediksi aktivitas biologis suatu senyawa. Penelitian Asmara, dkk. (2015: 27) membandingkan beberapa jenis metode semiempiris yang paling sesuai untuk metode CNDO, MNDO, AM1, dan PM3. Metode semiempiris yang tepat digunakan untuk pemodelan senyawa turunan triazolopiperazin amida yang baik adalah metode AM1 dan PM3, karena hasil

perhitungan yang diperoleh mendekati hasil perhitungan metode *ab initio* yang lebih akurat.

Penelitian yang dilakukan oleh Male, dkk. (2018: 4) menggunakan data struktur dan aktivitas biologis dari senyawa turunan xanton dengan metode *Parameterized Model 3* (PM3). Data deskriptor yang diperoleh berupa muatan bersih atom, momen dipol, energi HOMO, dan energi LUMO. Perhitungan HKSA diperoleh data deskriptor logaritma koefisien partisi dan polarisabilitas. Muatan bersih atom dan sifat molekuler dari senyawa turunan xanton memiliki potensi untuk digunakan sebagai parameter aktivitas biologis senyawa obat kanker.

Sedangkan penelitian yang dilakukan oleh Arba, dkk. (2018: 49) tentang studi hubungan kuantitatif stuktur dan aktivitas dan penambatan molekul menggunakan metode semiempiris AM1 pada 30 jenis senyawa turunan benzamida sebagai penghambat alosterik MEK agar diperoleh senyawa baru turunan benzamida yang lebih berpotensi sebagai inhibitor alosterik MEK. Penelitian ini menunjukkan bahwa senyawa baru yang dihasilkan dapat berinteraksi pada sisi alosterik protein MEK.

Berdasarkan penelitian Carneiro, dkk. (2016: 1645) yang menggunakan program *ArgusLab* 4.0 sebagai pemodelan yang dikembangkan dengan cara yang lebih berbobot karena program ini lebih kompleks dan menghasilkan jumlah perhitungan yang lebih besar. Model tersebut dirancang dan dioptimalkan dengan perangkat lunak yang ditetapkan untuk mengoptimalkan struktur menggunakan metode semiempiris Austin Model 1 yang mengikuti pendekatan *Hartree-Fock*.

Menurut Miladiyah, dkk. (2016: 151-152) yang melakukan penelitian HKSA pada sel kanker Hepar-HepG2 menggunakan metode semiempiris AM1 diperoleh nilai aktivitas antikanker senyawa turunan xanton yang memiliki hubungan secara

kuantitatif terhadap sifat fisika-kimia dari suatu senyawa. Nilai n yang diperoleh sebesar 26, nilai R sebesar 0.571, nilai SE sebesar 0.234, nilai F_{hitung}/F_{tabel} sebesar 1.165, dan nilai $PRESS$ sebesar 3.766. Deskriptor yang berpengaruh pada penelitian ini yaitu koefisien partisi, momen dipol, energi HOMO, energi LUMO, dan muatan bersih atom.

Penelitian ini menggunakan metode AM1 karena struktur elektronik diperoleh dengan mudah, optimasi geometri lebih sederhana, dan mampu memprediksi molekul besar yang lebih akurat (Miladiyah, dkk., 2018: 153). Penelitian ini menggunakan parameter elektronik, hidrofobik, dan sterik untuk menghasilkan persamaan HKSA dan diharapkan dapat memperoleh model persamaan pada senyawa turunan xanton dari hubungan antara deskriptor dengan aktivitas antikanker. Sehingga dapat menghasilkan senyawa turunan xanton baru dengan aktivitas antikanker yang lebih baik.

Berdasarkan latar belakang tersebut maka dilakukan penelitian ini yang bertujuan untuk mengetahui deskriptor yang dapat mempengaruhi aktivitas antikanker senyawa turunan aminoalkanol xanton, mengetahui model persamaan Hubungan Kuantitatif Struktur-Aktivitas (HKSA) terbaik pada senyawa turunan aminoalkanol xanton terhadap aktivitas antikanker menggunakan analisis regresi multilinier, dan mengetahui hasil prediksi aktivitas antikanker dari senyawa baru hasil modifikasi senyawa turunan aminoalkanol xanton.

B. Rumusan Masalah

Rumusan masalah pada penelitian ini adalah sebagai berikut:

1. Apa saja deskriptor yang dapat mempengaruhi aktivitas antikanker senyawa turunan aminoalkanol xanton?

2. Bagaimana model persamaan Hubungan Kuantitatif Struktur-Aktivitas (HKSA) terbaik pada senyawa turunan aminoalkanol xanton terhadap aktivitas antikanker menggunakan analisis regresi multilinier?
3. Bagaimana hasil prediksi aktivitas antikanker dari senyawa baru hasil modifikasi senyawa turunan aminoalkanol xanton?

C. Tujuan Penelitian

Tujuan pada penelitian ini adalah sebagai berikut:

1. Mengetahui deskriptor yang mempengaruhi aktivitas antikanker senyawa turunan aminoalkanol xanton.
2. Mengetahui model persamaan Hubungan Kuantitatif Struktur-Aktivitas (HKSA) terbaik pada senyawa turunan aminoalkanol xanton terhadap aktivitas antikanker menggunakan analisis regresi multilinier.
3. Mengetahui hasil prediksi aktivitas antikanker dari senyawa baru hasil modifikasi senyawa turunan aminoalkanol xanton.

D. Manfaat Penelitian

Manfaat pada penelitian ini adalah sebagai berikut:

1. Memperoleh informasi tentang hubungan antara deskriptor molekuler dengan aktivitas antikanker pada senyawa turunan aminoalkanol xanton.
2. Memperoleh informasi tentang persamaan Hubungan Kuantitatif Struktur-Aktivitas (HKSA) terbaik pada senyawa turunan aminoalkanol xanton yang dapat dijadikan sebagai model untuk memprediksi aktivitas antikanker.
3. Memperoleh informasi tentang nilai aktivitas antikanker untuk senyawa prediksi turunan aminoalkanol xanton baru.

BAB II

TINJAUAN PUSTAKA

A. Kanker

Indonesia termasuk salah satu negara yang memiliki penderita kanker dengan jumlah setiap tahun sebanyak 100 penderita kanker dari 100.000 jumlah penduduk (Swantara dan Rita, 2015: 141). Kasus kanker baru sebanyak 12,7 juta dengan 7,6 juta kematian pada tahun 2008 dan jumlah ini meningkat pada tahun 2012 (Miladiyah, dkk., 2018: 150). Kanker sebagai salah satu masalah kesehatan masyarakat di seluruh dunia dan sebagai penyebab kematian kedua setelah penyakit jantung (Siegel, dkk., 2018: 7). Kanker merupakan jenis penyakit yang memiliki sel jaringan yang bersifat abnormal dengan pertumbuhan sel jaringan yang melewati batas normal. Pembentukan sel kanker ditandai dengan pertumbuhan jaringan yang tidak normal dan mudah menyebar ke seluruh tubuh. Pertumbuhan jaringan yang tidak normal di dalam tubuh dan bersifat ganas akan sangat berbahaya karena jaringan dapat tumbuh secara cepat. Sehingga kemampuannya untuk menyerang sel jaringan normal menjadi tidak teratur (Madury, dkk., 2017: 3).

Angka kematian akibat penyakit kanker lebih tinggi di negara berkembang dibandingkan dengan negara maju. Kanker paru-paru sebagai penyebab utama kematian akibat kanker pada laki-laki di dunia. Sedangkan kanker payudara sebagai penyakit kanker yang menjadi penyebab kematian bagi perempuan di seluruh dunia. Kanker kolon dan kanker prostat merupakan penyebab utama dari kematian pada laki-laki di negara maju. Kanker hati dan kanker perut merupakan jenis penyakit kanker yang banyak menyebabkan kematian pada laki-laki di negara berkembang.

Sedangkan pada perempuan, kanker rahim merupakan penyakit kanker terbanyak di negara berkembang (Dewi, 2017: 2).

Penyebab angka kematian manusia terhadap penyakit kanker sangat besar. Beberapa diantaranya kanker payudara, kanker perut, kanker hati, kanker paru-paru, kanker rektal, dan kanker prostat. Berdasarkan data *Global Burden Cancer* (GBC) *International Agency for Research on Cancer* (IARC) pada tahun 2012 diketahui bahwa kasus penyakit kanker baru sebanyak 14.067.894 orang dan jumlah kasus kematian akibat penyakit kanker sebanyak 8.201.575 orang di seluruh dunia (Kementerian Kesehatan, 2016). Pengobatan kanker dapat dilakukan dengan berbagai tindakan medis antara lain radiasi, kemoterapi dan tindakan bedah. Tingkat kelangsungan hidup pasien stadium lanjut menjadi menurun hingga 11% karena cukup resisten terhadap kemoterapi dan radioterapi (Rao, dkk., 2017: 2). Rendahnya tingkat keberhasilan kemoterapi telah menyebabkan peningkatan minat dalam pengembangan senyawa antikanker baru (Miladiyah, dkk., 2018: 150). Namun, pengobatan tersebut memerlukan biaya yang relatif tinggi. Sehingga banyak penderita kanker yang memilih pengobatan dengan menggunakan obat tradisional yang berasal dari tumbuhan (Arifianti, dkk., 2014: 63).

Penelitian Rusdin (2019) menggunakan tumbuhan dari kulit buah manggis (*Garcinia mangostana*. L.) yang mengandung senyawa α -mangostin sebagai pengobatan kanker. Aktivitas antikanker dari senyawa α -mangostin menunjukkan daya hambat yang besar dengan konsentrasi 10 μ M dan dapat menginduksi kematian sel organisme dari perkembangan serta pertumbuhan alaminya. Senyawa α -mangostin sangat berpotensi untuk penanganan penyakit kanker dan bersifat spektrum luas karena dapat bekerja dengan berbagai mekanisme yang memiliki efek sitotoksik yang

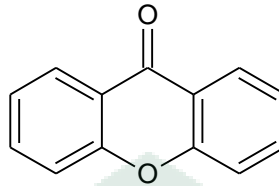
relatif tinggi. Selain itu, senyawa α -mangostin dapat memberikan efek hambatan pada sel kanker dan tidak berefek pada sel yang bersifat normal, sehingga dapat menjadi obat utama pada penyakit kanker yang baru.

Menurut Putri (2015) dalam penelitiannya menyatakan bahwa kulit buah manggis dengan aktivitas farmakologi sebagai antikanker, antioksidan, antivirus, antidiabetes, dan antipiretik. Kandungan utama kulit buah manggis atas aktivitas farmakologinya adalah golongan xanton yang termasuk senyawa flavonoid. Senyawa α -mangostin dalam kulit buah manggis berfungsi untuk menekan senyawa karsinogenik dengan menunjukkan aktivitas apoptosis diantara senyawa xanton yang lain. Selain itu, senyawa α -mangostin dapat menghubungkan apoptosis jalur mitokondria.

B. Xanton

Xanton adalah kelompok senyawa yang memiliki efek pada organisme hidup yang terdiri atas 6 cincin karbon dengan kerangka karbon rangkap. Struktur tersebut membuat xanton menjadi lebih stabil dan serbaguna. Senyawa aktif dasar senyawa xanton terdiri dari planar trisiklik dengan satu cincin piran yang menyatu dengan dua cincin fenil pada kedua sisi (Miladiyah, dkk., 2018: 149). Modifikasi kimia dari suatu senyawa xanton mengenai selektivitas karena memiliki lebih dari satu jenis kelompok fungsional seperti hidroksil fenolik, rantai fenil, dan karbon aromatik yang tidak tersubstitusi (Morelli, dkk., 2014: 2). Titik didih dari senyawa xanton sebesar 350°C . Xanton dapat dihasilkan dari sebagian kecil tumbuhan tinggi, tumbuhan paku, jamur, dan tumbuhan lumut. Sebagian besar senyawa xanton dapat ditemukan pada tumbuhan tinggi yang dapat diisolasi dari empat suku, yaitu *Guttiferae* (manggis-manggis), *Moraceae* (ara-araan), *Polygalaceae* (tumbuhan berbunga), dan

Gentianaceae (tumbuhan berbunga) (Maligan, dkk., 2018: 101). Tumbuhan yang biasa digunakan untuk pengobatan berasal dari buah manggis.



Gambar 2.1 Struktur Xanton

Kulit buah manggis mengandung antioksidan yang cukup tinggi sehingga bermanfaat bagi kesehatan. Kandungan utama pada kulit buah manggis adalah senyawa xanton yang merupakan salah satu jenis antioksidan terkuat untuk menjaga kesehatan kulit dan tubuh, serta melawan penyakit-penyakit kronis yang dapat mempengaruhi proses kerja syaraf, pembuluh darah dan bagian-bagian pada tulang (Ngatin dan Hulupi, 2014: 1). Xanton merupakan kelas metabolit tanaman khusus yang berfungsi sebagai senyawa pertahanan yang dapat melawan mikroorganisme patogen dan herbivora (Fiesel, dkk., 2015: 15617). Metabolit sekunder seperti xanton ditemukan pada tanaman dari keluarga *Clusiaceae*, *Gentianaceae*, *Moraceae*, dan *Polygalaceae* (Genovese, dkk., 2016: 1814).

Penelitian Putri (2015: 34) menyatakan bahwa kulit buah manggis (*Garcinia mangostana* L.) mengandung senyawa yang memiliki efek farmakologi dan antioksidan. Kandungan senyawa yang terdapat pada kulit buah manggis antara lain flavonoid, tanin dan xanton. Senyawa turunan xanton merupakan gabungan senyawa yang memiliki struktur cincin atom yang mengandung oksigen, berwarna kuning dan memiliki bentuk utama berupa di-benzo-gamma-piron. Xanton sebagai metabolit sekunder dan secara umum disubstitusi dengan gugus lain yang akan berpengaruh terhadap aktivitasnya (Aulani dan Muchtaridi, 2019: 346). Keragaman struktur

xanton disertai dengan aktivitas biologis sehingga berpotensi sebagai agen terapeutik baru untuk pengobatan berbagai gangguan penyakit pada tubuh. Aktivitas xanton yang paling berperan penting adalah aktivitas antikanker, antibakteri dan antijamur. Selain itu, xanton juga memiliki efek farmakologi pada penyakit kardiovaskular, sistem saraf pusat, imunomodulator dan antiinflamasi (Sypniewski, 2017: 2).

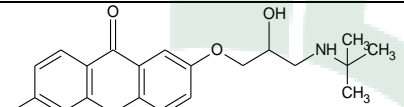
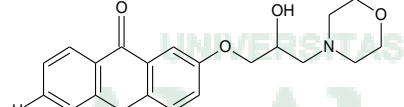
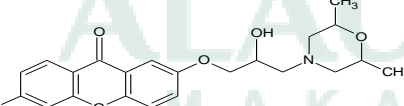
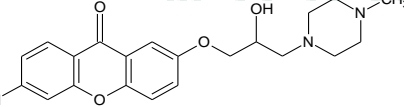
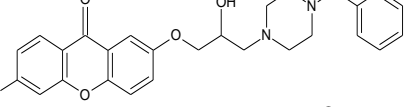
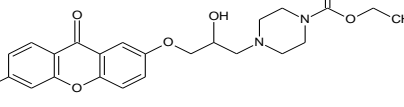
Efek farmakologi dari senyawa xanton memberikan informasi tentang efek terapi dan toksisitas dari senyawa xanton telah menjadi salah satu alasan peningkatan dalam memanfaatkan tumbuhan. Perkembangan teknologi dalam analisis telah banyak memberi dalam penemuan turunan senyawa xanton aktif dalam pengobatan terapi (Susanti, 2019: 46). Xanton yang terkandung dalam kulit buah manggis (*Garcinia mangostana* L.) memiliki 68 jenis xanton yang telah dapat diisolasi yaitu α -Mangostin, β -Mangostin, γ -Mangostin, gartanin dan 8-Deoxigartanin yang merupakan komposisi terbanyak pada kulit buah manggis. Selain itu, elemen-elemen ini banyak diteliti oleh para ilmuwan dari segi kandungan dan berbagai manfaat bagi kesehatan (Magallanes, dkk., 2017: 102).

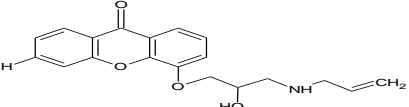
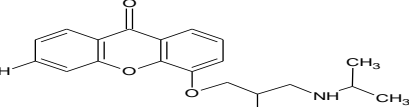
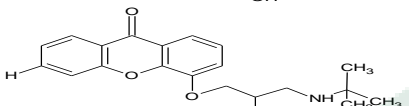
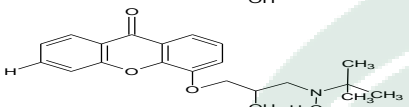
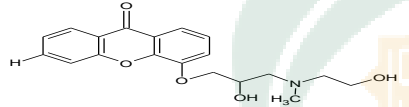
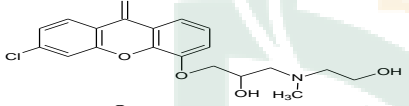
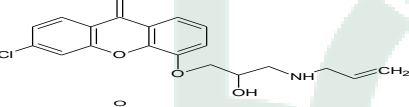
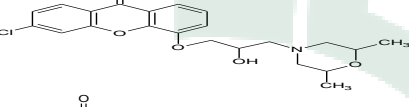
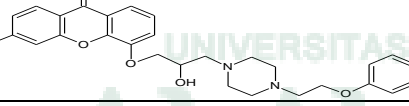
Spektrum aktivitas ini bergantung pada gugus fungsi yang terikat. Aktivitas efek farmakologi senyawa turunan xanton sebagai penghambat aktivitas kolinesterase, antibakteri, antikejang pada epilepsi, antivirus (herpeks), anthelmintik, antiprotozoa, memperbaiki memori jangka panjang, hepatoprotektor, antiinflamasi (antiperadangan), antimalaria, penghambat oksidasi kolesterol LDL, mencegah osteoporosis, antihipertensi dan antikanker (Fiesel, dkk., 2015: 15617).

Penelitian Miladiyah, dkk. (2016: 145-146) melakukan pengukuran aktivitas antikanker dengan menilai aktivitas sitotoksik berupa konsentrasi penghambat 50% (IC_{50}), yaitu konsentrasi senyawa xanton yang dibutuhkan untuk menghambat

pertumbuhan sel-sel kanker sebanyak 50%. Szkaredek, dkk. (2016) dalam penelitiannya tentang pencegahan kanker dan pengobatan yang berhasil telah menjadi masalah utama dalam pengobatan modern. Pembedahan, radioterapi dan kemoterapi tetap merupakan prosedur dasar dalam terapi kanker, dan kemoprevensi juga menjadi isu penting dalam epidemiologi kanker. Sebagian besar agen kemoterapi menunjukkan toksisitas yang parah, selektivitas yang rendah, dan menyebabkan perkembangan resistensi terhadap beberapa obat, kebutuhan akan obat baru tetap ada. Agen antitumor telah banyak ditemukan di alam atau hasil modifikasi kimiawi dari prekursor alami. Turunan xanton baru disintesis untuk mencari agen antitumor baru yang akan aktif melawan kanker.

Tabel 2.1 Nama Senyawa dan Nilai Aktivitas Senyawa Turunan Aminoalkanol Xanton

No.	Struktur	Nama Turunan Senyawa	Nilai IC ₅₀ (μM)
1		2-[3-(<i>tert</i> -butylamino)-2-hydroxypropoxy]-9H-Xanthen-9-one	96.16
2		2-(2-hydroxy-3-morpholin-4-ylpropoxy)-9H-Xanthen-9-one	>400
3		2-[2-(2,6 dimethylmorpholin-1-yl)-2-hydroxypropoxy]-9H-Xanthen-9-one	>400
4		2-[2-hydroxy-3-(1-methylpiperazin)-4-ylpropoxy]-9H-Xanthen-9-one	218.78
5		2-[3-(1-benzylpiperazin-4-yl)-2-hydroxypropoxy]-9H-Xanthen-9-one	66.83
6		2-[3-(ethyl-1-(piperazin-1-yl)formate-4-yl)-2-hydroxypropoxy]-9H-Xanthen-9-one	>400

7		4-[3-(allylamino)-2-hydroxypropoxy]-9H-Xanthen-9-one	40.6
8		4-[2-hydroxy-3-(isopropylamino)propoxy]-9H-Xanthen-9-one	316.23
9		4-[3-(tert-butylamino)-2-hydroxypropoxy]-9H-Xanthen-9-one	>400
10		4-(2-hydroxy-3-((2-methylpropan-2-yl)(methyl)amino)propoxy)-9H-Xanthen-9-one	>400
11		4-[2-hydroxy-3-[(2-hydroxyethyl)(methyl)amino]propoxy]-9H-Xanthen-9-one	154
12		3-chloro-5-(2-hydroxy-3-((2-hydroxyethyl)(methyl)amino)propoxy)-9H-Xanthen-9-one	52.1
13		3-chloro-5-(2-hydroxy-3-(prop-2-en-1-ylamino)propoxy)-9H-Xanthen-9-one	22.39
14		3-chloro-5-(3-(2,6-dimethylmorpholin-1-yl)-2-hydroxypropoxy)-9H-Xanthen-9-one	>400
15		3-chloro-5-(3-phenyl-2-(piperazin-1-ylethoxy)-4-ylpropoxy)-9H-Xanthen-9-one	48.9

(Szkaradek, dkk., 2016: 1588)

C. Hubungan Kuantitatif Struktur-Aktivitas (HKSA)

Kimia komputasi merupakan salah satu disiplin ilmu dalam bidang farmasi yang sangat membantu dalam penelitian Hubungan Kuantitatif Struktur-Aktivitas (HKSA) atau *Quantitative Structure-Activity Relationship* (QSAR). Analisis HKSA merupakan salah satu metode yang digunakan dalam fase pengembangan obat baru. Hasil analisis HKSA umumnya digunakan sebagai panduan untuk mendesain obat

baru secara teoritis. Hal ini berkaitan dengan arahan perkembangan penemuan obat baru yang semakin efektif dan efisien setiap tahunnya (Hadanu, 2019: 168).

Suatu senyawa baru yang memiliki khasiat tinggi dapat diperoleh dengan melakukan eksperimen yang meliputi desain, sintesis, identifikasi, pemurnian dan uji aktivitas. Kelemahan dari rencana eksperimen ini adalah hasil yang diperoleh biasanya memiliki aktivitas yang kurang baik dari senyawa-senyawa yang telah diperoleh sebelumnya. Sebagai salah satu solusi dari masalah tersebut adalah pemodelan dengan menggunakan perangkat komputer. Perhitungan komputer dalam eksperimen dapat menggunakan bahasa pemrograman dengan algoritma. Metode ini memungkinkan penghitungan sifat molekul yang kompleks dengan hasil yang berhubungan secara relevan dengan eksperimen (Ananto, dkk., 2018: 1).

Pengembangan eksperimen komputer dapat mengubah secara bermakna tentang hubungan antara teori dengan eksperimen. Penelitian kimia menggunakan seperangkat komputer diawali dengan analisis hubungan struktur kimia dengan aktivitas biologis dari suatu senyawa. Eksplorasi dalam menganalisis hubungan struktur senyawa obat dan aktivitasnya maka penelitian zat baru lebih terencana dan membentuk ilmu baru yaitu kimia medisinal dan farmakologi molekular. Sehingga pengembangan pemanfaatan senyawa obat dengan menggunakan kimia medisinal dapat dilakukan dengan berbagai macam rancangan seperti pendekatan secara biokimia maupun secara komputasi (Fadilla, dkk., 2018: 46). Penentuan persamaan HKSA dapat dilakukan dengan memperhatikan statistik regresi multilinier antara data aktivitas senyawa hasil penelitian laboratorium dengan data hasil penelitian perhitungan menggunakan perangkat komputer (Nugraha, dkk., 2019: 215).

Hubungan Kuantitatif Struktur-Aktivitas (HKSA) dapat digunakan untuk mengetahui hubungan antara struktur molekul dengan aktivitas biologis yang dinyatakan secara kuantitatif. Salah satu metode yang sering digunakan pada HKSA adalah metode semiempirik. Metode ini biasa digunakan pada penentuan struktur dan aktivitas dari suatu senyawa karena parameter yang dihitung adalah elektron valensi atom-atomnya sehingga waktu analisis yang dibutuhkan relatif singkat. Teknik ini menggunakan data perhitungan secara statistika yang secara kuantitatif dapat menentukan perbedaan antara aktivitas senyawa dengan perubahan deskriptor tiap molekul. Deskriptor tersebut dapat dinyatakan sebagai angka yang merupakan modifikasi dari struktur molekuler. Saat ini dikenal tiga metode analisis HKSA yaitu metode HKSA *Free-Wilson*, metode *Hansch* dan metode HKSA tiga dimensi (Asmara, dkk., 2015: 20). Pemodelan molekul dengan bantuan komputasi modern telah menjadi alat penting dalam proses pengembangan obat dan karakterisasi struktural diamati dalam pemodelan obat menggunakan perhitungan semiempiris berdasarkan mekanika kuantum dan struktur molekul (Reges, dkk., 2017: 16).

Pengembangan model HKSA membutuhkan beberapa hal yaitu menyiapkan data yang telah diketahui struktur kimia dan aktivitas biologisnya, memilih deskriptor molekuler yang tepat dan mampu menggambarkan informasi tentang struktur, serta metode matematika untuk menentukan hubungan antara aktivitas biologis dengan struktur aktivitas molekul (Mushlihin, 2015: 14). Keuntungan lain dengan menggunakan metode HKSA yaitu dapat mengoptimalkan aktivitas, geometri dan reaktivitas sebelum senyawa tersebut disintesis secara eksperimental. Hal ini dapat meminimalisir waktu dan biaya yang mahal, serta senyawa yang dihasilkan memiliki aktivitas seperti yang diharapkan (Yeni, dkk., 2018: 46).

Analisis HKSA model *Hansch* merupakan salah satu teknik analisis HKSA yang menyajikan sebuah konsep bahwa hubungan struktur kimia dengan aktivitas biologis suatu turunan senyawa dan dapat dinyatakan dengan analisis kuantitatif yang bergantung pada deskriptor hidrofobik, elektronik dan sterik. Pendekatan HKSA melalui deskriptor sifat fisika-kimia dengan persamaan *Hansch* yang dinyatakan melalui persamaan berikut:

$$\log \frac{1}{c} = a\sum\pi + b\sum\sigma + c\sum E_s + d \dots\dots\dots(2.1)$$

dimana,

- C : konsentrasi yang menghasilkan efek biologis
 $\sum\pi$, $\sum\sigma$, dan E_s : sumbangan sifat hidrofobik, elektronik dan sterik dari gugus atau substituen
a, b, c, dan d : hasil perhitungan analisis regresi linier

(Arba, 2019: 37).

Sifat fisika-kimia yang biasa digunakan dalam analisis HKSA dan mengukur dengan melihat aktivitas biologis. Aktivitas biologis sebagian besar suatu senyawa berkaitan dengan kombinasi sifat fisikokimia. Persamaan sederhana yang hanya melibatkan satu parameter menjadi relevan jika parameter lainnya konstan. Persamaan ini dikenal sebagai persamaan *Hansch* yang dapat menghubungkan aktivitas biologis dengan sifat fisikokimia yang digunakan yaitu parameter hidrofobik, elektronik, dan sterik (Patrick, 2013: 392).

D. Deskriptor

Deskriptor merupakan parameter yang digunakan dalam menjelaskan hubungan kuantitatif struktur dan aktivitas yang diolah menjadi variabel dengan menggunakan persamaan regresi multilinear. Deskriptor biasanya menjadi variabel prediktor dan prediktor yang digunakan pada analisis HKSA diperoleh dari hasil pengukuran. Prediktor yang diperoleh yaitu perhitungan berat atom, orbital molekul terisi tertinggi (*Highest Occupied Molecular Orbital*), orbital molekul terisi terendah (*Lowest Occupied Molecular Orbital*), polarisasi, volume molekuler dan refraktivitas molar (Muchtaridi, dkk., 2018: 122).

Deskriptor umumnya digunakan untuk menggambarkan perbedaan karakteristik dari struktur bahan kimia dalam menghasilkan informasi tentang aktivitas biologis. Analisis HKSA dipengaruhi oleh berbagai faktor yang paling relevan yaitu pemilihan deskriptor molekuler terbaik yang harus mencakup informasi maksimum struktur molekul dan tumpang tindih minimum diantara keduanya, jumlah optimal deskriptor untuk dimasukkan dalam pemodelan, penggunaan pemodelan yang sesuai, komposisi data set dan penggunaan validasi untuk memverifikasi kinerja prediksi model yang dikembangkan (Hadanu, dkk., 2015: 87). Jenis deskriptor molekul terbagi atas 3 yaitu deskriptor hidrofobik, deskriptor elektronik dan deskriptor sterik.

1. Deskriptor Hidrofobik

Deskriptor hidrofobik merupakan parameter yang digunakan dalam mendesain struktur obat. Parameter hidrofobik berkaitan dengan kelarutan obat di dalam air, permeabilitas membran dan pemberian entropi. Salah satu parameter yang sering digunakan dalam deskriptor hidrofobik adalah koefisien partisi (Log P). Log P dapat dihitung berdasarkan jumlah fragmen dasar yang diberikan dari suatu molekul.

Koefisien partisi merupakan logaritma koefisien zat partisi fase organik dengan fase air (Arba, 2019: 45). Koefisien partisi pada model *Hansch* dengan parameter hidrofobik dapat dinyatakan dengan persamaan sebagai berikut:

$$\pi_x = \log P_X - \log P_H \quad \dots\dots\dots(2.2)$$

dimana,

π_x : parameter hidrofobik senyawa x

$\log P_X$: koefisien partisi senyawa x

$\log P_H$: koefisien partisi senyawa induk

Hidrofobitas suatu senyawa dapat dikuantifikasi menggunakan koefisien partisi P . Nilai P dapat diperoleh secara eksperimental dan harus dilakukan sintesis senyawa (Patrick, 2013: 386).

Salah satu metode yang digunakan untuk menghitung $\log P$ dari struktur molekul adalah aditivitas substituen berdasarkan kontribusi fragmen dan atomik, pertimbangan luas permukaan, sifat molekul, dan parameter solvatokromik. Metode ini dilakukan dengan menjumlahkan konstanta fragmen untuk molekul yang ditambahkan faktor koreksi yang diperlukan untuk interaksi intramolekul antar fragmen seperti efek elektronik dan sterik. $\log P$ suatu senyawa dihitung dengan menjumlahkan kontribusi untuk fragmen dan menerapkan sejumlah faktor koreksi sesuai kebutuhan

$$\text{Log } P = \sum_i a_i \cdot f_i + \sum_j b_j \cdot f_j \quad \dots\dots\dots(2.3)$$

dimana,

f_i : konstanta fragmen

f_j : faktor koreksi

a_i : fragmen

Kontribusi untuk setiap fragmen dikalikan dengan terjadinya fragmen tersebut yang ditambahkan secara kumulatif. Jumlah dikoreksi untuk sejumlah faktor yang sesuai dengan teori pelarut. Setiap faktor koreksi memiliki nilai terkait dan dikalikan dengan sejumlah contoh koreksi dalam struktur. Faktor koreksi disebabkan oleh fleksibilitas molekuler, percabangan, faktor interaksi fragmen polar, efek orto, dan interaksi aromatik (Roy, dkk., 2015: 55).

2. Deskriptor Elektronik

Deskriptor elektronik menjelaskan sifat elektronik dari suatu senyawa melalui persamaan *Hammett*. Hubungan efek elektronik terbagi dua yaitu efek induksi dan efek resonansi. Efek induksi terjadi pada ikatan tunggal dan efek resonansi terjadi pada ikatan ganda. Parameter yang digunakan pada deskriptor elektronik yaitu konstanta *Hammett* (σ), nilai pKa, momen dipol (μ), ikatan hidrogen, energi HOMO (*Highest Occupied Molecular Orbital*), energi LUMO (*Lowest Occupied Molecular Orbital*), dan muatan parsial. Parameter elektronik menjelaskan tentang pengaruh substituen terhadap distribusi kerapatan elektron (Arba, 2019: 47). Persamaan *Hammett* dapat dinyatakan sebagai berikut:

$$\rho\sigma = \log \frac{K_X}{K_H} \dots\dots\dots(2.4)$$

dimana,

- K_X : konstanta ionisasi tersubstitusi
- K_H : konstanta ionisasi tidak tersubstitusi
- ρ : konstanta reaksi ionisasi
- σ : konstanta substituen

Parameter yang diperoleh dari persamaan *Hammett* yaitu konstanta substituen σ yang merupakan ukuran efek elektronik substituen. Nilai positif diberikan pada substituen penarik elektron, sedangkan nilai negatif diberikan pada substituen pendorong elektron. Parameter elektronik lain seperti energi HOMO dan energi LUMO. Energi HOMO (*Highest Occupied Molecular Orbital*) merupakan energi yang dibutuhkan untuk mendorong keluar satu elektron dari orbital molekul tertinggi terisi elektron, sedangkan energi LUMO (*Lowest Occupied Molecular Orbital*) merupakan energi yang dihasilkan ketika elektron masuk ke dalam orbital molekul terendah yang tidak diisi dengan elektron (Patrick, 2013: 388). Momen dipol sebagai suatu besaran vektor yang memiliki nilai tidak ditentukan oleh operasi simetri, akan tetapi ditentukan oleh arah dan panjang vektor. Semakin besar nilai momen dipol, maka akan bersifat elektronegatif (Male, dkk., 2018: 4).

Muatan bersih atom merupakan salah satu deskriptor dari parameter elektronik yang sangat berpengaruh terhadap interaksi elektronik antar atom-atom yang saling berikatan dalam suatu molekul senyawa. Elektron pada atom akan terlibat dan berinteraksi serta saling berikatan sehingga dapat mempengaruhi harga muatan dari setiap atom (Hadanu, 2018: 153). Energi hidrasi menunjukkan peningkatan terhadap kemampuan aktivitas biologis suatu molekul senyawa dalam menembus membran biologi (Almi, 2014: 115). Polarisabilitas molekuler merupakan suatu ukuran molekul untuk membentuk dipol sesaat sehingga dapat mengimbangi dipol lainnya untuk membentuk ikatan intermolekuler (Nindita dan Sanjaya, 2014: 30).

Efek elektronik dari berbagai substituen akan memiliki efek pada ionisasi atau polaritas senyawa. Suatu senyawa dapat melewati membran sel atau berinteraksi dengan tempat pengikatan. Oleh karena itu, untuk mengukur efek elektronik dari

substituen kemiringan σ adalah konstanta reaksi proporsionalitas yang berkaitan dengan kesetimbangan tertentu. Parameter σ menjelaskan sifat elektronik dari substituen aromatik yaitu daya tarik atau donasi elektron. Konstanta substituen σ memberikan efek polar intrinsik dari substituen yang diberikan relatif terhadap hidrogen (Roy, dkk., 2015: 57).

3. Deskriptor Sterik

Deskriptor sterik memiliki dua hal yaitu ukuran molekul dan bentuk molekul. Efek sterik dengan efek elektronik dapat dipisahkan melalui parameter *Taft*. Parameter *Taft* dapat dinyatakan dengan persamaan berikut:

$$E_s = \log \frac{K_X}{K_H} \dots\dots\dots(2.5)$$

dimana,

K_X : laju hidrolisis senyawa

K_H : laju hidrolisis senyawa induk

Parameter yang biasa digunakan pada deskriptor sterik antara lain refraktivitas molar (MR), volume molar (MV), dan volume *Van der Waals*. Refraktivitas molar bersifat aditif karena nilai total merupakan gabungan dari beberapa substituen, sedangkan volume molar tidak bersifat aditif. Parameter sterik dapat dinyatakan dengan persamaan berikut:

$$MV = \frac{MW}{d} \dots\dots\dots(2.6)$$

$$MR = MV \frac{n^2-1}{n^2+2} \dots\dots\dots(2.7)$$

dimana,

MW : berat molekul

d : kerapatan

n : indeks refraksi

(Arba, 2019: 49).

Luas permukaan merupakan salah satu deskriptor dalam parameter sterik yang berkaitan dengan kapasitas ukuran dan luas permukaan sentuh dari molekul yang bertujuan untuk memudahkan suatu molekul senyawa ketika menembus membran biologis pada suatu makhluk hidup (Rakhman, dkk., 2019: 120). Refraktivitas molar ukuran dari volume oleh suatu atom yang menunjukkan ukuran dan bentuk dari suatu senyawa (Tuslinah, 2013: 40). Massa molekul merupakan massa atau bobot molekul yang berkaitan dengan kerapatan dan jari-jari atom pada suatu senyawa. Panas pembentukan merupakan suatu energi yang dikeluarkan atau dibutuhkan untuk membentuk satu molekul senyawa. Sehingga nilai panas pembentukan akan berpengaruh terhadap daya ikat dari suatu senyawa (Mulatsari, dkk., 2019: 55).

E. Analisis Statistik dalam Hubungan Kuantitatif Struktur-Aktivitas (HKSA)

Analisis statistik yang sering digunakan dalam hubungan kuantitatif struktur dan aktivitas melalui parameter-parameter kimia-fisika adalah analisis regresi linier dan nonlinier. Analisis regresi linier meliputi regresi linier sederhana, *Multiple Linear Regression* (MLR), *Principal Component Analysis* (PCA), dan *Partial Least Square* (PLS). Sedangkan analisis regresi nonlinier meliputi *Artificial Neural Network* (ANN), *k-Nearest Neighbors* (kNN), dan *Support Vector Machine* (SVM). Analisis regresi linier dapat dilihat dari jumlah variabel bebas yang digunakan yaitu analisis

regresi linier tunggal yang menggunakan satu variabel bebas dan analisis regresi multilinier yang menggunakan lebih dari satu variabel bebas (Arba, 2019: 52).

Menurut Fadhilah dan Tjahjono (2012: 77), analisis model persamaan yang diperoleh akan dipilih prediktor terbaik yang memenuhi persyaratan statistik dengan menggunakan parameter R , R^2 , q^2 dan F_{hitung}/F_{tabel} . Validasi model statistik digunakan untuk mendapatkan persamaan HKSA yang dapat diterima dengan metode *Leave One Out* (LOO). Nilai Z-SCORE yang melebihi 2.5 harus dieliminasi satu persatu menggunakan aplikasi MOE 2007.09 dengan memasukkan perintah *QSAR model-fit-validate*. Analisis statistik dilakukan kembali untuk menghitung nilai R , q^2 dan F_{hitung}/F_{tabel} .

Parameter statistik digunakan dalam pemilihan persamaan HKSA seperti nilai R , R^2 , F_{hitung}/F_{tabel} , SE, dan nilai PRESS. Nilai R^2 digunakan dalam analisis statistik karena memiliki tingkat ketelitian yang lebih akurat dibandingkan dengan nilai R . Semakin tinggi nilai R^2 mendekati 1, maka hubungan antar variabel akan semakin baik. Akan tetapi, nilai R dan R^2 hanya menunjukkan kelinearitas antar kedua variabel dan tidak memberikan ukuran prediksi dari suatu model persamaan. Sehingga harus diperhatikan deskriptor yang lain untuk memperoleh suatu persamaan terbaik (Male, dkk., 2018: 4).

BAB III

METODE PENELITIAN

A. Waktu dan Tempat

Penelitian ini dilaksanakan pada bulan Juli 2020 - Januari 2021 yang bertempat di Laboratorium Kimia Organik Fakultas Sains dan Teknologi Universitas Islam Negeri Alauddin Makassar.

B. Alat dan Bahan

1. Alat

a. Hardware

Penelitian ini menggunakan perangkat keras berupa *Processor Intel ® Core™ i3-4005U CPU @ 1.70GHz, RAM 4.00 GB, dan Harddisk 390 GB.*

b. Software

Penelitian ini menggunakan perangkat lunak berupa *Windows 10 Pro © 2016 Microsoft Corporation 64-bit, HyperChem 8.0.7, SPSS for Windows versi 16.0, Microsoft Office Excel Professional @ 2010, dan ChemSketch 14.0.1.1040.*

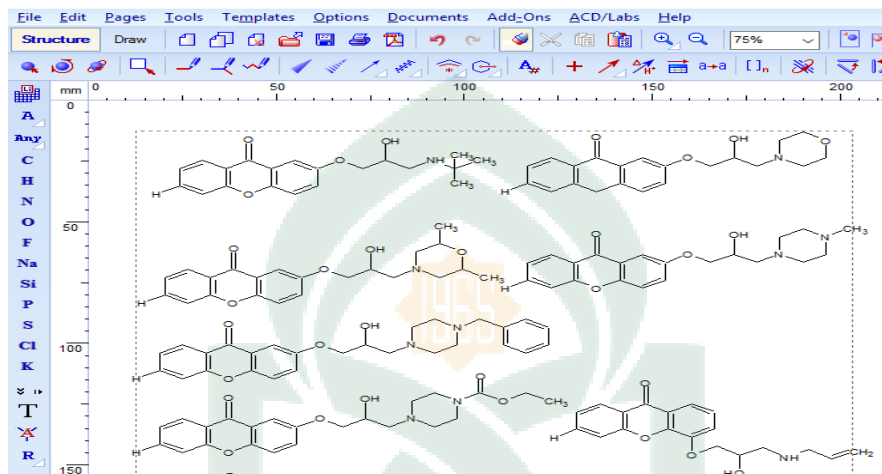
2. Bahan

Data yang digunakan pada penelitian ini adalah senyawa turunan aminoalkanol xanton yang diperoleh dari artikel penelitian Szkaradek, dkk. (2016).

C. Prosedur Penelitian

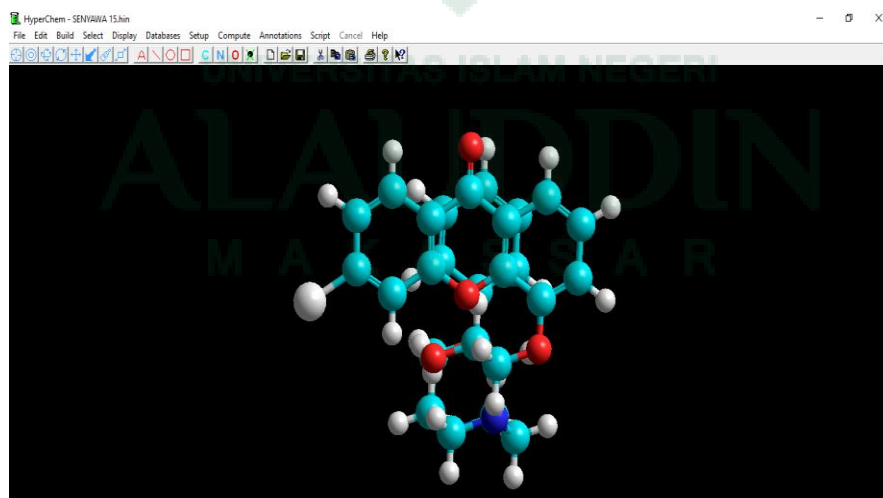
1. Pemodelan Struktur Molekul

Struktur senyawa turunan aminoalkanol xanton yang digunakan penelitian ini digambar pada aplikasi *ChemSketch* dan disimpan dalam *file*.



Gambar 3.1 Pemodelan Struktur pada *ChemSketch* 14.0.1.1040

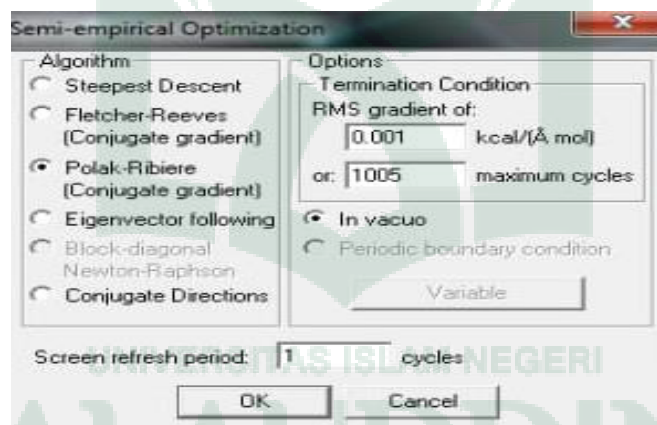
Selanjutnya pemodelan struktur senyawa turunan aminoalkanol xanton dibuat struktur 3D dengan menggunakan program *HyperChem* 8.0.7.



Gambar 3.2 Pemodelan Struktur 3D pada *HyperChem*

2. Optimasi Geometri

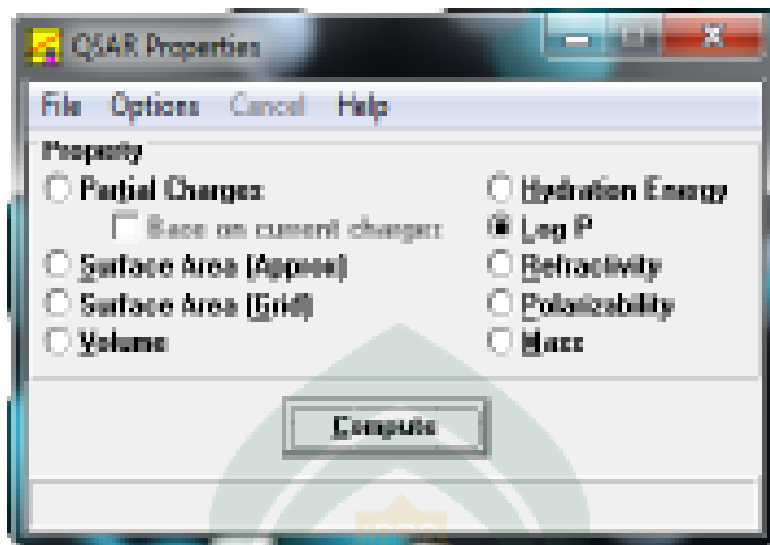
Senyawa turunan aminoalkanol xanton yang telah dibuat dalam bentuk 3D melalui pemodelan molekul, kemudian struktur dioptimasi menggunakan metode semiempiris *Austin Model 1* (AM1) dengan algoritma *Polak-Ribiere* gradien 0.001 kkal/Å. Selanjutnya dilakukan perhitungan *single point* dengan *output* data dikumpulkan pada *file* rekaman. Dimulai rekaman dengan menekan *start log* dan *stop log* untuk mengakhiri rekaman. Perhitungan *single point* dilakukan untuk memperoleh nilai deskriptor-deskriptor. Perintah pada program *HyperChem* yaitu *Setup > AM1*. Selanjutnya, pilih *Compute > Geometry Optimization*. Model molekul yang telah dibuat disimpan dalam format **.mol*.



Gambar 3.3 Optimasi Geometri Metode *Austin Model 1*

3. Perhitungan Deskriptor

Deskriptor dapat dihitung dengan menggunakan sub program prediktor pada program *HyperChem* 8.0.7. Struktur yang telah dibuat pada program *HyperChem* disimpan pada database **.hin*. Perintah pada program *HyperChem* untuk kalkulasi deksriptor yaitu klik *Compute > Qsar Properties*, kemudian dipilih deskriptor yang akan dihitung, lalu tekan *OK*.



Gambar 3.4 Deskriptor pada *HyperChem*

Dilakukan kalkulasi deskriptor pada program *HyperChem* yang mewakili parameter hidrofobik, elektronik, dan sterik. Deskriptor yang dihitung adalah energi total, energi hidrasi, log P, refraktivitas, polarisabilitas, massa molekul, volume molekul, luas permukaan perkiraan, luas permukaan jaringan, momen dipol, energi HOMO, energi LUMO, panas pembentukan, dan muatan bersih atom.

Tabel 3.1 Deskriptor yang Digunakan

No.	Deskriptor	Simbol Ilmiah	Satuan
1.	log P	log P	-
2.	Energi HOMO	E_{HOMO}	eV
3.	Energi LUMO	E_{LUMO}	eV
4.	Muatan bersih atom	q	C
5.	Energi hidrasi	EH	kcal/mol
6.	Polarisabilitas	α	\AA^3
7.	Energi total	ET	kcal/mol
8.	Momen dipol	μ	D

9.	Luas permukaan perkiraan	SAA	Å^2
10.	Refraktivitas molar	RM	Å^3
11.	Volume molekuler	V	Å^3
12.	Massa molekuler	MW	amu
13.	Luas permukaan jaringan	SAG	Å^2
14.	Panas pembentukan	ΔH_f	kcal/mol

4. Analisis Statistik

Analisis statistik berupa analisis korelasi dan analisis regresi multilinier yang dilakukan dengan menggunakan program SPSS [®] *for windows* versi 16.0 dan *Microsoft Office Excel Professional @ 2010*. Variabel bebas yang digunakan yaitu log P, energi HOMO, energi LUMO, muatan bersih atom (qC1, qC2, qC3, qC4, qC5, qC6, qC7, qC8, qC9, qC10, qC11, qC12, qC13, qO1, dan qO2), energi hidrasi, polarisabilitas, energi total, momen dipol, luas permukaan perkiraan, luas permukaan jaringan, massa molekuler, refraktivitas molar, volume molekuler, dan panas pembentukan. Sedangkan variabel terikat yang digunakan adalah log IC₅₀. Hasil yang diperoleh berupa deskriptor terpilih dengan persamaan HKSA dan nilai parameter statistik seperti R, R², SE, PRESS, dan F. Selanjutnya dilakukan kombinasi deskriptor hingga diperoleh 3 deskriptor terbaik dengan nilai R ≥ 0,8 hingga 1. Nilai R² yang baik dapat diperoleh dengan membuang data *outlier* berdasarkan kelinearan grafik yang telah dibuat pada *Microsoft Excel*.

5. Validasi dan Penetapan Model Persamaan HKSA

Model-model yang telah dipilih, kemudian divalidasi dengan menghitung nilai R^2 , SE, F_{hitung}/F_{tabel} , dan PRESS. Persamaan yang diterima harus memenuhi syarat nilai R^2 dari 0.8 - 1, $F_{hitung}/F_{tabel} > 1$, dan nilai PRESS dan SE yang paling terkecil.

6. Desain Senyawa Baru

Desain senyawa baru dengan menambahkan substituen tertentu pada senyawa induk yang digunakan. Posisi substituen yang digunakan harus berbeda dengan posisi substituen dari senyawa induk. Desain senyawa baru dilakukan dengan memperhatikan rumus persamaan HKSA yang telah diperoleh. Selanjutnya dilakukan perhitungan nilai aktivitas prediksi antikanker.

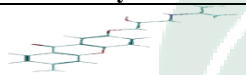
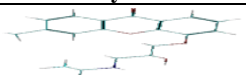
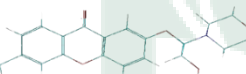
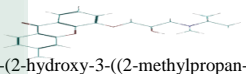
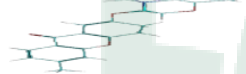
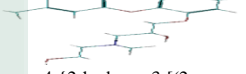
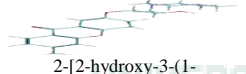
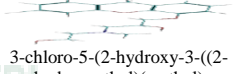
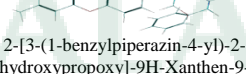
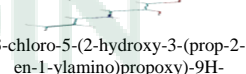
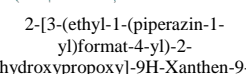
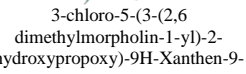
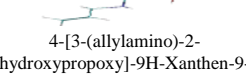
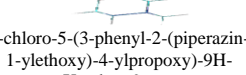
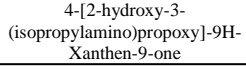
BAB IV HASIL DAN PEMBAHASAN

A. Hasil Penelitian

1. Tabel Penelitian

1.1 Pemodelan Struktur Molekul dan Optimasi Geometri

Tabel 4.1 Struktur 3D pada *HyperChem*

No.	Kode Senyawa	Nama dan Turunan Senyawa	IC ₅₀ μM	No.	Kode Senyawa	Nama dan Turunan Senyawa	IC ₅₀ μM
1.	XT1	 2-[3-(tert-butylamino)-2-hydroxypropoxy]-9H-Xanthen-9-one	96.16	9.	XT9	 4-[3-(tert-butylamino)-2-hydroxypropoxy]-9H-Xanthen-9-one	> 400
2.	XT2	 2-(2-hydroxy-3-morpholin-4-ylpropoxy)-9H-Xanthen-9-one	> 400	10.	XT10	 4-(2-hydroxy-3-((2-methylpropan-2-yl(methyl)amino)propoxy))-9H-Xanthen-9-one	> 400
3.	XT3	 2-[2-(2,6-dimethylmorpholin-1-yl)-2-hydroxypropoxy]-9H-Xanthen-9-one	> 400	11.	XT11	 4-[2-hydroxy-3-[(2-hydroxyethyl(methyl)amino)propoxy]-9H-Xanthen-9-one	154
4.	XT4	 2-[2-hydroxy-3-(1-methylpiperazin-4-ylpropoxy)-9H-Xanthen-9-one	218.78	12.	XT12	 3-chloro-5-(2-hydroxy-3-((2-hydroxyethyl(methyl)amino)propoxy))-9H-Xanthen-9-one	52.1
5.	XT5	 2-[3-(1-benzylpiperazin-4-yl)-2-hydroxypropoxy]-9H-Xanthen-9-one	66.83	13.	XT13	 3-chloro-5-(2-hydroxy-3-(prop-2-en-1-ylamino)propoxy)-9H-Xanthen-9-one	22.39
6.	XT6	 2-[3-(ethyl-1-(piperazin-1-yl)formyl-4-yl)-2-hydroxypropoxy]-9H-Xanthen-9-one	> 400	14.	XT14	 3-chloro-5-(3-(2,6-dimethylmorpholin-1-yl)-2-hydroxypropoxy)-9H-Xanthen-9-one	> 400
7.	XT7	 4-[3-(allylamino)-2-hydroxypropoxy]-9H-Xanthen-9-one	40.6	15.	XT15	 3-chloro-5-(3-phenyl-2-(piperazin-1-ylethoxy)-4-ylpropoxy)-9H-Xanthen-9-one	48.9
8.	XT8	 4-[2-hydroxy-3-(isopropylamino)propoxy]-9H-Xanthen-9-one	316.23				

1.2 Perhitungan Deskriptor

Tabel 4.2 Nilai Deskriptor *Training Sets*

Kode	ET	EH	logP	RM	α	MW	V	SAG	SAA	MD	E_{HOMO}	E_{LUMO}	ΔH_f	IC_{50}
XT1	-104218.96	-8.27	-0.18	107.97	39.18	355.43	1077.24	637.89	603.01	4.08	-8.92	-0.78	-71.45	96.16
XT2	-110928.63	-9.03	-1.00	108.54	39.05	369.42	1050.00	620.41	526.07	3.52	-8.82	-0.71	-61.79	400.1
XT3	-109669.66	94.29	-0.20	116.56	42.91	399.49	1169.84	666.70	4297.81	7.24	-8.32	-0.84	9000.66	400.1
XT4	-112815.56	-4.98	-0.88	114.70	41.79	384.48	1123.47	656.06	567.19	4.43	-8.40	-0.46	14.43	218.78
XT5	-131096.07	-8.50	0.16	144.26	51.26	458.56	1306.72	749.73	618.55	4.26	-8.80	-0.69	105.89	66.83
XT7	-99955.02	-10.47	-0.27	103.33	37.16	339.39	1019.67	607.45	540.01	2.13	-9.10	-0.83	-24.16	40.6
XT8	-100626.94	-7.81	-0.26	103.33	37.35	341.41	1035.74	619.46	564.58	1.96	-8.96	-0.75	-66.27	316.23
XT10	-107724.78	-4.62	0.18	113.27	41.02	369.46	1105.60	637.80	622.62	2.40	-8.95	-0.73	9.57	400.1
XT12	-113284.47	-16.53	-2.32	106.80	38.63	379.84	1050.89	620.85	563.05	1.28	-9.21	-0.34	-34.34	52.1
XT13	-104664.04	-11.41	-0.65	103.76	37.25	359.81	1009.81	602.63	536.13	0.73	-9.20	-1.03	-22.68	22.39
XT14	-117516.05	-7.58	-0.96	113.39	40.97	403.86	1051.35	594.69	495.71	2.37	-8.90	-1.04	1648.13	400.1
XT15	-146734.00	-7.69	-0.80	151.31	53.82	509.00	1360.86	757.92	615.38	3.73	-9.17	-0.89	113.58	48.9

Keterangan: ET = energi total (kcal/mol), EH = energi hidrasi (kcal/mol), log P = koefisien partisi, RM = refraktivitas molar (\AA^3), α = polarisabilitas (\AA^3), MW = massa (amu), V = volume (\AA^3), SAG = luas permukaan jaringan (\AA^2), SAA = luas permukaan perkiraan (\AA^2), MD = momen dipol (D), E_{HOMO} = energi HOMO (eV), E_{LUMO} = energi LUMO (eV), ΔH_f = panas pembentukan (kcal/mol), IC_{50} = konsentrasi penghambat

Tabel 4.3 Nilai Muatan Bersih Atom

Kode	qC1	qC2	qC3	qC4	qC5	qC6	qC7	qC8	qC9	qC10	qC11	qC12	qC13	qO1	qO2
XT1	-0.10	0.04	-0.15	-0.11	0.09	0.13	-0.15	-0.03	-0.16	-0.05	-0.22	0.32	-0.17	-0.12	-0.30
XT2	-0.10	0.03	-0.17	-0.12	0.09	0.13	-0.15	-0.03	-0.16	-0.05	-0.22	0.32	-0.18	-0.12	-0.30
XT3	-0.11	0.00	-0.17	-0.10	0.07	0.12	-0.15	-0.03	-0.16	-0.05	-0.21	0.31	-0.20	-0.12	-0.30
XT4	-0.15	0.00	-0.22	-0.10	0.06	0.12	-0.15	-0.03	-0.16	-0.05	-0.21	0.31	-0.18	-0.12	-0.30
XT5	-0.10	0.03	-0.17	-0.12	0.09	0.13	-0.15	-0.03	-0.16	-0.05	-0.22	0.32	-0.18	-0.12	-0.30
XT6	-0.19	0.04	-0.09	-0.12	0.09	0.13	-0.15	-0.03	-0.16	-0.05	-0.22	0.32	-0.18	-0.12	-0.31
XT7	-0.09	-0.12	-0.13	0.07	0.05	0.10	-0.16	-0.02	-0.16	-0.05	-0.21	0.32	-0.18	-0.12	-0.30
XT8	-0.08	-0.13	-0.20	0.07	0.12	0.13	-0.15	-0.03	-0.16	-0.05	-0.22	0.32	-0.19	-0.10	-0.30
XT9	-0.09	-0.12	-0.14	0.07	0.05	0.10	-0.16	-0.02	-0.16	-0.05	-0.21	0.32	-0.17	-0.12	-0.30
XT10	-0.08	-0.13	-0.20	0.07	0.12	0.12	-0.15	-0.03	-0.16	-0.05	-0.22	0.32	-0.19	-0.10	-0.30
XT11	-0.09	-0.12	-0.14	0.07	0.05	0.10	-0.16	-0.02	-0.16	-0.05	-0.21	0.32	-0.17	-0.12	-0.30
XT12	-0.14	-0.10	-0.16	0.09	0.02	0.07	-0.13	-0.02	-0.14	-0.06	-0.13	0.13	-0.14	-0.13	-0.33
XT13	-0.09	-0.12	-0.13	0.07	0.05	0.11	-0.15	0.00	-0.15	-0.04	-0.21	0.32	-0.17	-0.12	-0.30
XT14	-0.09	-0.12	-0.13	0.05	0.01	0.08	-0.13	-0.01	-0.15	-0.05	-0.21	0.31	-0.16	-0.08	-0.29
XT15	-0.09	-0.12	-0.14	0.06	0.02	0.08	-0.14	-0.01	-0.15	-0.05	-0.21	0.31	-0.16	-0.08	-0.29

1.3 Analisis Statistik

Tabel 4.4 Nilai Kombinasi Deskriptor

Model	Variabel	R	R ²	SE	F _{hitung}	F _{tabel}	F _{hit} /F _{tab}
1	qC10, ΔHf, SAG, qC3, qC2, qC7, qC1, log P, MD, ET	0.999	0.999	0.050	95.944	241.882	0.397
2	qC10, ΔHf, SAG, qC3, qC2, qC1, log P, MD, ET	0.999	0.999	0.037	199.438	19.385	10.288
3	qC10, ΔHf, SAG, qC3, qC2, qC1, MD, ET	0.997	0.995	0.067	67.874	8.845	7.674
4	qC10, SAG, qC3, qC2, qC1, MD, ET	0.996	0.992	0.068	73.079	6.041	12.097
5	qC10, SAG, qC3, qC1, MD, ET	0.994	0.987	0.079	64.291	4.950	12.988

Keterangan: R = koefisien korelasi, R² = koefisien determinasi, SE = kesalahan baku, F = tingkat signifikansi

Tabel 4.5 Model Persamaan HKSA

Model	Bentuk Persamaan
1	$\text{Log IC}_{50} = 4.415 - (0.00004 \cdot \text{ET}) + (0.139 \cdot \log P) - (0.015 \cdot \text{SAG}) + (0.145 \cdot \text{MD}) + (0.00003 \cdot \Delta \text{Hf}) + (11.794 \cdot \text{qC1}) + (1.300 \cdot \text{qC2}) - (13.272 \cdot \text{qC3}) + (1.210 \cdot \text{qC7}) - (28.145 \cdot \text{qC10})$
2	$\text{Log IC}_{50} = 4.196 - (0.00005 \cdot \text{ET}) + (0.142 \cdot \log P) - (0.015 \cdot \text{SAG}) + (0.139 \cdot \text{MD}) + (0.00003 \cdot \Delta \text{Hf}) + (11.743 \cdot \text{qC1}) + (1.347 \cdot \text{qC2}) - (13.332 \cdot \text{qC3}) - (29.102 \cdot \text{qC10})$
3	$\text{Log IC}_{50} = 4.308 - (0.00004 \cdot \text{ET}) - (0.014 \cdot \text{SAG}) + (0.174 \cdot \text{MD}) + (0.00002 \cdot \Delta \text{Hf}) + (14.214 \cdot \text{qC1}) + (1.137 \cdot \text{qC2}) - (13.559 \cdot \text{qC3}) - (23.659 \cdot \text{qC10})$
4	$\text{Log IC}_{50} = 4.468 - (0.00004 \cdot \text{ET}) - (0.014 \cdot \text{SAG}) + (0.125 \cdot \text{MD}) + (13.931 \cdot \text{qC1}) + (0.701 \cdot \text{qC2}) - (13.118 \cdot \text{qC3}) - (23.447 \cdot \text{qC10})$
5	$\text{Log IC}_{50} = 4.337 - (0.00004 \cdot \text{ET}) - (0.014 \cdot \text{SAG}) + (0.231 \cdot \text{MD}) + (13.111 \cdot \text{qC1}) - (12.950 \cdot \text{qC3}) - (22.240 \cdot \text{qC10})$

1.4 Validasi dan Penetapan Model Persamaan HKSA

Tabel 4.6 Nilai PRESS *Training Sets*

Kode Senyawa	log IC ₅₀ Eksperimen	Model 2	Model 3	Model 4	Model 5
XT1	1.98	2.71	2.10	2.36	2.26
XT2	2.60	3.37	2.77	3.01	2.90
XT3	2.60	3.36	2.72	2.95	2.93
XT4	2.34	3.11	2.44	2.72	2.68
XT5	1.82	2.71	1.90	2.16	2.07
XT7	1.61	2.31	1.70	1.96	1.94
XT8	2.50	3.18	2.61	2.83	2.79
XT10	2.60	3.38	2.72	2.95	2.92
XT12	1.72	2.50	1.85	2.07	2.04
XT13	1.35	2.08	1.48	1.68	1.65
XT14	2.60	3.36	2.66	2.89	2.88
XT15	1.69	2.68	1.88	2.20	2.20
Nilai PRESS		87.24	2.02	19.10	14.82

Keterangan: PRESS = *Prediction Sum of Square*

Tabel 4.7 Nilai Deskriptor *Test Sets*

Kode	ET	EH	logP	RM	α	MW	V	SAG	SAA	MD	E _{HOMO}	E _{LUMO}	ΔH_f	IC ₅₀
XT6	-137112.90	-7.20	-0.11	130.68	47.82	454.52	1310.32	769.12	681.98	3.16	-8.87	-0.74	-83.75	400.1
XT9	-104198.74	-6.99	-0.18	107.97	39.18	355.43	1065.64	626.44	585.42	2.25	-9.12	-0.82	-51.23	400.1
XT11	-107931.43	-12.36	-1.10	105.75	37.99	357.41	1043.59	619.72	573.31	2.15	-9.10	-0.81	-21.62	154

Tabel 4.8 Nilai PRESS *Test Sets*

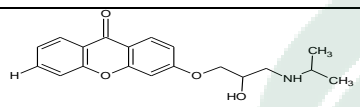
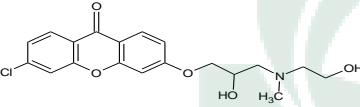
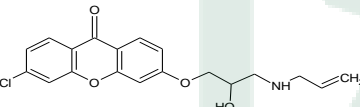
Kode Senyawa	log IC ₅₀ Eksperimen	Model 2	Model 3	Model 4	Model 5
XT6	2.60	0.41	-0.68	-0.40	-0.43
XT9	2.60	2.40	1.76	2.02	2.00
XT11	2.19	2.54	1.99	2.24	2.22
Nilai PRESS		4.16	18.66	12.46	12.96

Tabel 4.9 Hasil Analisa Persamaan HKSA Terbaik

Variabel	R	R ²	F _{hitung}	F _{tabel}	F _{hit} /F _{tab}	SE	PRESS
qC10, ΔHf, SAG, qC3, qC2, qC1, MD, ET	0.997	0.995	67.874	8.845	7.674	0.067	2.02

1.5 Desain Senyawa Baru

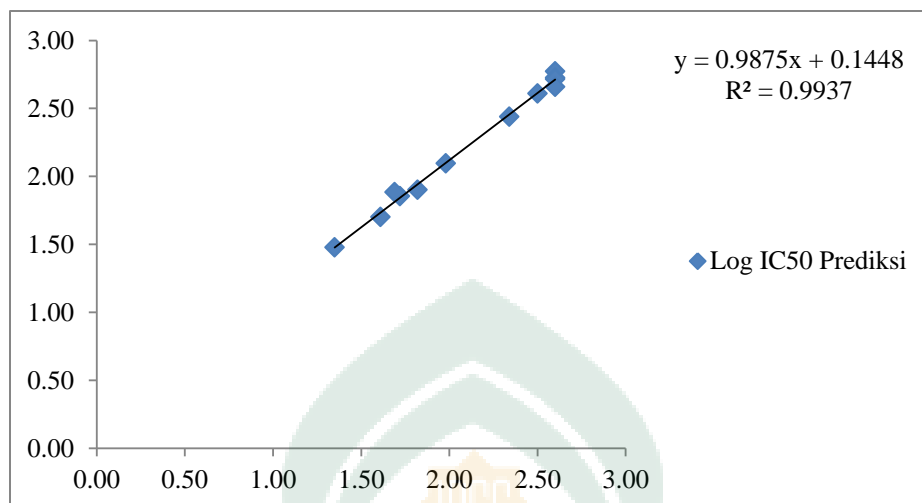
Tabel 4.10 Nama Senyawa dan Nilai Aktivitas Turunan Aminoalkanol Xanton Baru

No.	Struktur	Nama Senyawa	Log IC ₅₀ Prediksi
1.		3-[2-hydroxy-3-(propan-2-ylamino)propoxy]-9H-Xanthen-9-one	1.84
2.		3-chloro-6-{2-hydroxy-3-[(2-hydroxyethyl)(methyl)amino]propoxy}-9H-Xanthen-9-one	1.59
3.		3-chloro-6-[2-hydroxy-3-(prop-2-en-1-ylamino)propoxy]-9H-Xanthen-9-one	1.42

Tabel 4.11 Nilai Deskriptor Senyawa Modifikasi

Kode Senyawa	ET	SAG	MD	ΔHf	qC1	qC2	qC3	qC10
AX1	-97037.33	594.76	3.28	-63.50	-0.03	-0.17	0.13	-0.16
AX2	-112659.51	627.85	2.23	-39.20	-0.03	-0.16	0.13	-0.15
AX3	-104682.96	618.35	2.34	-41.60	-0.03	-0.16	0.13	-0.15

2. Grafik Log IC₅₀ Prediksi



Gambar 4.1 Grafik Korelasi Perbandingan Log IC₅₀ Eksperimen dengan Log IC₅₀ Prediksi

$$\begin{aligned} \text{Log IC}_{50} = & 4.308 - (0.00004 \cdot \text{ET}) - (0.014 \cdot \text{SAG}) + (0.174 \cdot \text{MD}) + \\ & (0.00002 \cdot \Delta \text{Hf}) + (14.214 \cdot \text{qC1}) + (1.137 \cdot \text{qC2}) - (13.559 \cdot \text{qC3}) - \\ & (23.659 \cdot \text{qC10}) \text{ dengan } R = 0.997; R^2 = 0.995; SE = 0.067; \\ & F_{\text{hitung}} = 67.874; F_{\text{tabel}} = 8.845; F_{\text{hitung}}/F_{\text{tabel}} = 7.674; \text{PRESS} = 2.02 \end{aligned}$$

B. Pembahasan

Hubungan kuantitatif struktur-aktivitas merupakan hubungan antara struktur suatu molekul dengan aktivitas biologis yang dibuktikan secara kuantitatif menggunakan metode semiempiris dan mekanika molekuler. Penelitian ini menggunakan metode semiempiris karena waktu yang digunakan untuk analisis relatif singkat dan dapat menganalisis sejumlah besar molekul senyawa. Secara teknik, metode ini menggunakan data algoritma statistika untuk mengetahui perbedaan antara aktivitas dengan perubahan deskriptor suatu molekul.

1. Pemodelan Struktur Molekul dan Optimasi Geometri

Penelitian ini menggunakan 15 turunan senyawa aminoalkanol xanton yang dimodelkan dengan menggunakan program *HyperChem* 8.0.7. Struktur 3D dapat dilihat pada Tabel 4.1 dan 15 data struktur dibagi ke dalam dua set data yaitu *training sets* dan *test sets*. Deskriptor pada kalkulasi harus mewakili parameter hidrofobik, elektronik, dan sterik yang terdiri atas 14 deskriptor yaitu log P, energi HOMO, energi LUMO, muatan bersih atom (qC1, qC2, qC3, qC4, qC5, qC6, qC7, qC8, qC9, qC10, qC11, qC12, qC13, qO1, dan qO2), energi hidrasi, polarisabilitas, energi total, momen dipol, luas permukaan perkiraan, luas permukaan jaringan, massa molekuler, refraktivitas molar, volume molekuler, dan panas pembentukan. Deskriptor dilihat untuk memastikan bahwa nilai dari setiap deskriptor tersedia untuk setiap struktur. Kalkulasi data deskriptor yang nilainya tidak tersedia untuk setiap struktur dalam data tersebut akan dihilangkan, sehingga akan mengurangi jumlah deskriptor untuk pengembangan model persamaan HKSA terbaik (Noorbacha, dkk., 2011: 18864).

Senyawa yang telah dimodelkan dalam bentuk 3D pada program *HyperChem* dioptimasi menggunakan metode semiempiris AM1. Tujuan dilakukan optimasi struktur agar diperoleh struktur yang lebih stabil dengan kualitas energi minimum (Male, dkk., 2018: 4). Struktur yang dikatakan optimal atau stabil dapat dilihat berdasarkan pembentukan energi total yang mendekati nilai nol (Rakhman, dkk., 2018: 27). Metode semiempiris AM1 digunakan karena metode ini baik untuk mengoptimasi struktur molekul. Hal ini disebabkan karena metode tersebut dapat menghitung molekul-molekul yang besar dan penggunaannya relatif cepat. Penelitian yang dilakukan oleh Asmara (2015) yang membandingkan beberapa metode dan hasil yang diperoleh menunjukkan metode semiempiris AM1 lebih baik digunakan untuk

pemodelan molekul. Metode AM1 digunakan karena metode ini dapat mengoptimasi struktur molekul dengan lebih baik.

2. Perhitungan Deskriptor

Hadanu (2015) menghitung deskriptor senyawa turunan benzotiazol sebagai antimalaria dan hasil menunjukkan linearitas yang baik. Utomo (2017) juga menggunakan metode yang sama untuk menganalisis aktivitas analgesik senyawa turunan meperidin. Hasil penelitian yang diperoleh korelasi yang signifikan antara aktivitas analgesik dengan deskriptor-deskriptornya. Hal ini menunjukkan bahwa metode AM1 adalah metode yang lazim digunakan karena mampu memperoleh hasil kalkulasi yang lebih optimal. Selain itu, waktu optimasi yang dibutuhkan lebih efisien. Hasil yang diperoleh dari kalkulasi semiempiris AM1 berupa sifat elektronik, optimasi geometri, dan total energi yang berhubungan dengan parameter-parameter yang digunakan dalam analisis HKSA (Nurhadi, 2018: 62). Batas konvergensi pada saat optimasi ditentukan berdasarkan pengamatan dengan menggunakan gradien sebesar $0.001 \text{ kkal}/(\text{\AA}\cdot\text{mol})$. Berbeda dengan penelitian yang dilakukan oleh Asmara (2015) yang membandingkan metode CNDO, MNDO, AM1, dan PM3 untuk mengetahui keakuratan keempat metode tersebut. Hasil penelitian menunjukkan bahwa metode yang paling tepat digunakan untuk pemodelan senyawa adalah metode AM1 dan PM3 karena hasil perhitungannya mendekati hasil yang lebih akurat.

3. Analisis Statistik

Nilai deskriptor pada Tabel 4.2 yang diperoleh pada program *HyperChem* selanjutnya dianalisis korelasi *bivariate* menggunakan metode *two-tailed* dan koefisien korelasi *Pearson* dengan program SPSS. Analisis korelasi digunakan untuk mengetahui keeratan hubungan antara variabel bebas dengan aktivitas antikanker.

Tingkat korelasi yang tinggi memiliki pengaruh yang besar terhadap aktivitas antikanker (Vaulina, dkk., 2012: 134). Hasil analisis korelasi menunjukkan bahwa variabel yang digunakan memiliki keeratan hubungan yang kuat karena diperoleh nilai korelasi mendekati 1. Hal ini sesuai dengan penelitian yang telah dilakukan Nisa, dkk. (2015: 164) yang menyatakan bahwa variabel yang paling berpengaruh terhadap aktivitas antikanker adalah nilai korelasi mendekati 1. Nilai analisis korelasi negatif tidak menunjukkan seberapa kuat pengaruh antara substituen dengan aktivitas biologis, akan tetapi hanya menunjukkan arah pengaruhnya. Nilai dengan tingkat korelasi yang mendekati nol menunjukkan bahwa korelasi antar deskriptor tidak signifikan (Male, dkk., 2018: 4).

Dari hasil kalkulasi deskriptor diperoleh data pada Tabel 4.2. Deskriptor yang mewakili parameter hidrofobik adalah koefisien partisi. Deskriptor yang mewakili parameter elektronik yaitu muatan bersih atom, energi *Highest Occupied Molecular Orbital* (HOMO), energi *Lowest Occupied Molecular Orbital* (LUMO), energi total, energi hidrasi, polarisabilitas, dan momen dipol. Deskriptor yang mewakili parameter sterik yaitu luas permukaan perkiraan, luas permukaan jaringan, refraktivitas molar, massa molekuler, volume molekuler, dan panas pembentukan. Parameter hidrofobik digunakan untuk memprediksi kelarutan suatu senyawa dan untuk memprediksi absorpsi suatu senyawa di dalam sel. Parameter elektronik digunakan untuk memprediksi kecenderungan dari suatu senyawa dalam berikatan dengan senyawa yang lain. Parameter sterik digunakan untuk memprediksi rintangan sterik suatu senyawa di dalam sel (Amin, 2014: 257).

Nilai log P berkaitan dengan kelarutan suatu obat di dalam tubuh. Suatu senyawa akan berada dalam fase nonpolar daripada fase polar apabila nilai log P

semakin positif (Utomo, dkk., 2017: 162). Hal ini menunjukkan bahwa senyawa obat akan lebih aktif berinteraksi dalam reseptor tubuh. Muatan bersih atom sangat berpengaruh terhadap interaksi elektronik antar atom-atom yang saling berikatan dalam suatu molekul senyawa. Elektron pada atom akan terlibat dan berinteraksi serta saling berikatan sehingga dapat mempengaruhi harga muatan dari setiap atom (Hadanu, 2018: 153). Energi HOMO adalah energi dengan orbital tertinggi yang berkaitan dengan potensial ionisasi terhadap serangan serangan elektrofil, sedangkan energi LUMO adalah energi dengan orbital terendah yang berkaitan dengan afinitas elektron terhadap serangan nukleofil. Stabilitas suatu senyawa akan lebih tinggi apabila selisih antara energi HOMO dan LUMO juga semakin besar. Energi hidrasi menunjukkan kemampuan suatu senyawa dalam berinteraksi dengan molekul-molekul air. Suatu senyawa akan lebih hidrofil apabila energi hidrasi semakin tinggi (Mulatsari, dkk., 2019: 55). Polarisabilitas merupakan kemampuan suatu molekul untuk membentuk dipol sesaat. Semakin besar massa molar dari suatu molekul maka polarisabilitas akan semakin tinggi. Momen dipol merupakan besaran vektor yang ditentukan oleh arah dan panjang vektor. Semakin besar nilai momen dipol maka semakin bersifat elektronegatif atau polar (Male, dkk., 2018: 4). Panas pembentukan merupakan energi yang diperlukan atau dikeluarkan untuk membentuk satu mol senyawa. Daya ikat suatu senyawa akan berpengaruh terhadap nilai dari variabel panas pembentukan (Mulatsari, dkk., 2019: 55). Massa molekuler merupakan bobot molekul yang berkaitan dengan kerapatan dan jari-jari atom pada suatu senyawa, sehingga akan berpengaruh terhadap reaktivitas suatu senyawa (Amin, 2014: 258). Refraktivitas molar merupakan ukuran dari volume oleh suatu atom yang

menunjukkan ukuran dan bentuk dari suatu senyawa. Semakin kecil nilai refraktivitas molar, maka aktivitas biologis senyawa akan semakin reaktif (Tuslinah, 2013: 40).

Setelah nilai deskriptor diperoleh selanjutnya dilakukan analisis regresi multilinier. Analisis regresi multilinier dilakukan untuk mengetahui pengaruh variabel yang signifikan, sehingga diperoleh deskriptor terpilih untuk membangun model persamaan. Data *training sets* digunakan untuk membangun model persamaan HKSA, sedangkan data *test sets* digunakan untuk validasi model persamaan yang telah dibangun. Analisis regresi menggunakan data pada *training sets* dilakukan dengan melibatkan log IC₅₀ sebagai variabel terikat dan deskriptor lain sebagai variabel bebas. Analisis regresi metode *backward* digunakan untuk memperoleh deskriptor terpilih. Metode *backward* dipilih karena merupakan metode terbaik dalam analisis regresi. Metode ini menjelaskan perilaku variabel respon dengan sebaik-baiknya dan memilih variabel penjelas dari sekian banyak variabel penjelas yang terdapat di dalam data (Samosir, 2014: 347). Deskriptor yang terpilih dengan menggunakan metode *backward* yaitu momen dipol, energi total, log P, luas permukaan jaringan, panas pembentukan, dan muatan bersih atom (qO2, qC1, qC2, qC3, qC7, dan qC10). Deskriptor yang terpilih sebanyak 5 model persamaan dan dianalisis menggunakan metode regresi multilinier yang menghasilkan nilai R, R², SE, F_{hitung}, F_{tabel}, dan F_{hitung}/F_{tabel}.

Hasil yang diperoleh dari program SPSS sebanyak 5 model persamaan dan deskriptor yang digunakan dapat dilihat pada Tabel 4.4. Model persamaan yang dihasilkan dalam penelitian HKSA adalah memiliki nilai R mendekati 1 (Santosa dan Hamdani, 2007: 257), nilai R² mendekati 1 (Riyanto dan Hatmawan, 2020: 141), nilai SE semakin kecil akan semakin baik karena mendekati garis regresi (Suharyadi dan

Purwanto, 2009: 177), nilai F_{hitung} lebih besar dari F_{tabel} , dan nilai F_{hitung}/F_{tabel} lebih dari 1 (Setyanto dan Lukodono, 2017: 66). Nilai R menunjukkan tingkat hubungan antara aktivitas biologis eksperimen dengan hasil perhitungan yang diperoleh secara statistik. Nilai F menunjukkan perbedaan tingkat signifikan dari model regresi, harga rasio antara F_{hitung} dengan F_{tabel} harus lebih dari satu untuk tingkat signifikansi 95% (Rohman, 2014: 64). Nilai R^2 adalah hasil statistik yang menunjukkan stabilitas yang baik dan kemampuan prediksi model persamaan yang kuat (Mollazadeh, dkk., 2017: 178). Nilai F_{hitung}/F_{tabel} untuk membandingkan antara nilai eksperimen dengan hasil perhitungan secara teoritis (Nugraha, dkk., 2019: 219).

4. Validasi dan Penetapan Model Persamaan HKSA

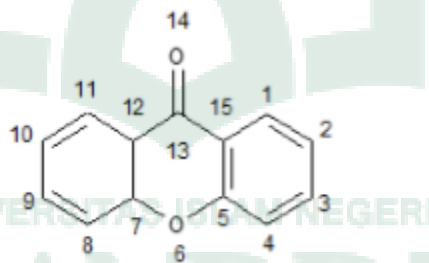
Hasil penelitian yang telah dilakukan menunjukkan bahwa model yang memenuhi syarat untuk analisis lebih lanjut adalah model 2, 3, 4, dan 5, sedangkan pada model persamaan 1 memiliki nilai F_{hitung}/F_{tabel} kurang dari 1. Hal ini menyatakan bahwa apabila $F_{hitung} > F_{tabel}$ maka H_0 ditolak yang berarti memiliki tingkat kepercayaan signifikan sebesar 95% antara sifat geometri suatu senyawa dengan aktivitas biologis (Nisa, dkk., 2015: 165). Perhitungan nilai PRESS data *training sets* kemudian dilakukan setelah uji validasi pada SPSS menggunakan model persamaan terpilih yaitu model 2, 3, 4, dan 5. Hasil nilai PRESS yang dihasilkan pada Tabel 4.6 dengan model 2, 3, 4, dan 5 berturut-turut 87.24; 2.02; 19.10; dan 14.82. Nilai PRESS paling kecil terdapat pada model 3 sebesar 2.02. Nilai PRESS merupakan selisih hasil dari aktivitas biologis prediksi dengan aktivitas biologis secara eksperimen yang dikuadratkan (Wibowo, dkk., 2017: 3). Hal ini menunjukkan bahwa semakin kecil nilai PRESS maka aktivitas akan semakin baik (Utomo, dkk., 2017: 164).

Selanjutnya dilakukan pengujian dengan menggunakan data pada Tabel 4.7 untuk memvalidasi persamaan HKSA yang telah terpilih. Validasi lanjutan dilakukan dengan menghitung nilai PRESS dari data *test sets* (Kilo dan Kilo, 2019: 23). Data Tabel 4.7 yang digunakan sebanyak 3 turunan senyawa dengan nilai deskriptor yang telah diperoleh dari hasil perhitungan menggunakan program *HyperChem*. Nilai PRESS model persamaan yang dihitung adalah model 2, 3, 4, dan 5 dengan variabel pada Tabel 4.4. Hasil nilai PRESS yang diperoleh pada Tabel 4.8 berturut-turut 4.16; 18.66; 12.46; dan 12.96. Nilai PRESS yang terkecil terdapat pada model 2 sebesar 4.16. Hasil uji PRESS terkecil pada data *training sets* sebesar 2.02 pada model 3 dan *test sets* sebesar 4.16 pada model 2. Nilai PRESS terkecil pada model persamaan yang dihasilkan antara *training sets* dan *test sets* sedikit berbeda. Oleh karena itu, harus memperhatikan kriteria yang lain seperti nilai R^2 pada garis linearitas. Nilai R^2 yang mendekati 1 terdapat pada model 3 sebesar 0.9937. Nilai R^2 yang baik dapat diperoleh dengan membuang data *outlier* hingga diperoleh garis yang linear. Persamaan regresi yang dihasilkan semakin baik apabila semakin mendekati garis prediksi (Utomo, dkk., 2017: 165). Sehingga dapat disimpulkan bahwa model 3 merupakan model persamaan HKSA terbaik dan telah memenuhi syarat pemodelan persamaan HKSA.

Pemilihan persamaan HKSA terbaik telah diperoleh dengan memperhatikan parameter nilai R , R^2 , SE, F_{hitung}/F_{tabel} , dan nilai PRESS. Semakin besar nilai R^2 yang dihasilkan mendekati 1, maka hubungan antara variabel bebas dengan variabel terikat akan semakin kuat. Nilai SE akan memperoleh data yang signifikan apabila menunjukkan nilai terkecil. Sedangkan nilai F_{hitung} harus lebih besar daripada F_{tabel} atau nilai F_{hitung}/F_{tabel} menunjukkan angka lebih dari 1, sehingga dapat memenuhi

persyaratan signifikansi pada tingkat kepercayaan sebesar 95% (Setyanto dan Lukodono, 2017: 66).

Persamaan HKSA terbaik dapat dilihat pada Tabel 4.5 model 3 yaitu $\text{Log IC}_{50} = 4.308 - (0.00004 \cdot \text{ET}) - (0.014 \cdot \text{SAG}) + (0.174 \cdot \text{MD}) + (0.00002 \cdot \Delta H_f) + (14.214 \cdot q_{C1}) + (1.137 \cdot q_{C2}) - (13.559 \cdot q_{C3}) - (23.659 \cdot q_{C10})$ yang membuktikan bahwa kombinasi deskriptor tersebut merupakan parameter fisika-kimia yang sangat berpengaruh dalam penelitian ini. Dari penelitian yang telah dilakukan diperoleh muatan bersih atom, energi total, dan momen dipol yang mewakili parameter elektronik. Serta luas permukaan jaringan dan panas pembentukan yang mewakili parameter sterik. Dari persamaan HKSA terbaik yang telah diperoleh pada model tiga menunjukkan bahwa pusat aktif dari senyawa turunan aminoalkanol xanton terletak pada muatan bersih atom C3, C10, C2, dan C1.



(Male, dkk., 2018: 2)

Muatan bersih atom termasuk parameter elektronik yang sangat berpengaruh terhadap interaksi elektronik antar atom-atom yang saling berikatan dalam suatu molekul senyawa. Muatan bersih atom yang dipilih sebagai pusat substituen yaitu C3 dengan memperhatikan muatan bersih yang paling berpengaruh. Sehingga dapat dilakukan modifikasi senyawa dengan penambahan substituen pada atom C3 untuk memberikan pengaruh aktivitas antikanker pada senyawa aminoalkanol xanton. Luas permukaan berkaitan dengan efek sterik agar memudahkan suatu molekul menembus

membran biologis. Struktur dasar pada turunan senyawa sangat mudah berotasi dan merenggang sehingga dapat menghalangi suatu molekul. Pada struktur dapat dilihat bahwa penambahan gugus $-CH_3$ menjadi salah satu faktor penghambat dalam meningkatkan nilai aktivitas dari suatu senyawa. Molekul yang berukuran kecil akan berpengaruh sehingga dapat menghambat pembentukan sel kanker. Momen dipol termasuk salah satu efek elektronik yang ditentukan oleh arah dan panjang vektor. Momen dipol yang dihasilkan pada penelitian ini sebesar 0.174 Debye . Dapat dilihat pada struktur nomor 7 dan 13 yang menunjukkan bahwa struktur nomor 7 memiliki muatan parsial positif pada atom hidrogen dan struktur nomor 13 memiliki muatan parsial negatif pada atom klor. Sehingga nilai momen dipol yang bernilai positif akan cenderung lebih bersifat elektronegatif. Energi total merupakan salah satu efek elektronik dan pada penelitian ini diperoleh energi total sebesar $-0.00004 \text{ kcal/mol}$ yang menunjukkan bahwa energi total yang semakin negatif akan lebih berpengaruh terhadap aktivitas antikanker dari suatu senyawa. Panas pembentukan berkaitan dengan efek sterik yang dikeluarkan atau dibutuhkan untuk membentuk satu molekul senyawa. Nilai panas pembentukan yang diperoleh sebesar 0.00002 kcal/mol . Panas pembentukan yang bernilai positif akan menerima energi dan bernilai negatif akan mengeluarkan energi. Hal ini menunjukkan bahwa panas pembentukan akan sangat berpengaruh terhadap daya ikat dari suatu senyawa apabila bernilai positif.

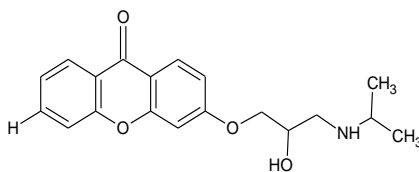
Penelitian yang dilakukan oleh Male, dkk. (2018) tentang prediksi potensi antikanker senyawa turunan xanton menggunakan hubungan kuantitatif struktur dan aktivitas metode PM3 memperoleh persamaan terbaik yaitu $\text{Log IC}_{50} = 18,730 + (-1,042 * qC1) + (1,633 * qC2) + (3,369 * qC3) + (1,257 * qC4) + (29,759 * qC8) + (53,543 * qC9) + (2,337 * qC10) + (0,161 * \text{momen dipol}) + (1.550 * E.HOMO) +$

$(-2,919 * E.LUMO) + (0,140 * Polarisabilitas) + (0,892 * \log P)$ dengan nilai $n = 27$; $r = 0,997$; $r^2 = 0,993$; $SE = 0,08530$; $F_{hitung}/F_{tabel} = 9,1588$; dan nilai $PRESS = 50,04021$. Penelitian ini menunjukkan bahwa pusat aktif dari senyawa turunan xanton terletak pada atom C1, C2, C3, C4, C8, C9, dan C10. Sehingga modifikasi dari substituen tersebut dapat memberikan dampak yang signifikan terhadap aktivitas antikanker.

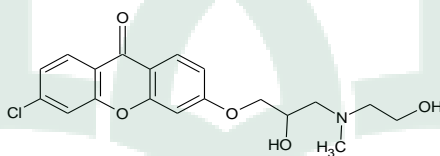
Penelitian Syahri, dkk. (2017) dalam analisis hubungan kuantitatif struktur dan aktivitas senyawa xanton sebagai antimalaria menggunakan metode semiempiris *Austin Model 1*. Model persamaan terbaik yang diperoleh yaitu $\text{Log IC}_{50} = 2,997 - (29,256 * qO8) - (138,234 * qC9) - (6,882 * qC12) - (107,836 * qC14) + (48,764 * qO15)$ dengan nilai $R = 0,888$; $R^2 = 0,9634$; $SE = 0,172$; $F_{hitung}/F_{tabel} = 3,471$; dan nilai $PRESS = 0,921$.

5. Desain Senyawa Baru

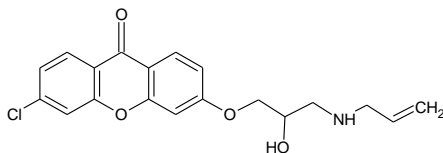
Senyawa turunan aminoalkanol xanton selanjutnya dimodifikasi berdasarkan rumus persamaan HKSA terbaik yang telah diperoleh. Senyawa yang dipilih yaitu senyawa dengan kode XT 8, 12, dan 13 dengan nilai Log IC_{50} yang berbeda-beda. Desain senyawa baru dilakukan dengan menentukan senyawa induk dan memilih posisi rantai samping atau substituen yang pada penelitian ini dipilih posisi atom C3. Substituen yang dipilih sebaiknya bersifat elektronegatif agar dapat meningkatkan nilai keelektronegatifan dari senyawa turunan baru. Selanjutnya dilakukan desain senyawa baru dengan menggunakan rumus persamaan HKSA terbaik, kemudian dilakukan kembali optimasi geometri dan kalkulasi deskriptor hingga diperoleh nilai Log IC_{50} prediksi.



Pada struktur *3-[2-hydroxy-3-(propan-2-ylamino)propoxy]-9H-Xanthen-9-one* dengan penambahan substituen –H sebagai R dan propanamina sebagai R' pada posisi C3 menghasilkan Log IC₅₀ prediksi sebesar 1.84 yang lebih baik dibandingkan dengan Log IC₅₀ eksperimen sebesar 2.50. Hal ini menunjukkan terdapat pengaruh posisi substituen R' dengan posisi C3 yang lebih berpotensi dalam menghambat setengah aktivitas dari sel kanker. Posisi R' dengan penambahan gugus –CH₃ menjadi salah satu faktor penghambat dalam meningkatkan nilai aktivitas biologis suatu senyawa.



Struktur *3-chloro-6-{2-hydroxy-3-[(2-hydroxyethyl)(methyl)amino]propoxy}-9H-Xanthen-9-one* dengan penambahan substituen –Cl sebagai R dan metilamino etanol sebagai R' pada posisi C3 yang menghasilkan Log IC₅₀ prediksi sebesar 1.59 yang lebih baik dibandingkan dengan Log IC₅₀ eksperimen sebesar 1.72. Hal ini menunjukkan terdapat pengaruh posisi substituen R' dengan posisi C3 yang lebih berpotensi dalam menghambat setengah aktivitas dari sel kanker. Posisi R dengan penambahan substituen –Cl dan –OH dapat memperbesar nilai elektronegativitas suatu senyawa, sehingga dapat meningkatkan nilai aktivitas antikanker yang ditandai dengan Log IC₅₀ yang semakin kecil.



Pada struktur *3-chloro-6-[2-hydroxy-3-(prop-2-en-1-ylamino)propoxy]-9H-Xanthen-9-one* dengan penambahan substituen –Cl pada posisi R dan propenilamina pada posisi R' yang menghasilkan nilai Log IC₅₀ prediksi sebesar 1.42, sedangkan nilai Log IC₅₀ eksperimen sebesar 1.35. Pada struktur ini belum diperoleh nilai aktivitas biologis prediksi yang lebih maksimal daripada nilai aktivitas biologis eksperimen.

Nilai momen dipol yang diperoleh pada desain senyawa modifikasi ini bernilai positif yang artinya lebih baik karena meningkatkan elektronegativitas. Energi total yang diperoleh bernilai negatif yang artinya semakin negatif nilai yang dihasilkan akan semakin baik, karena semakin berpengaruh terhadap aktivitas antikanker suatu senyawa. Luas permukaan menjadi salah satu faktor sterik yang berpengaruh pada senyawa ini karena memudahkan suatu molekul senyawa untuk menembus membran biologis. Panas pembentukan juga sebagai salah satu faktor sterik yang akan menerima atau mengeluarkan energi dari suatu senyawa, sehingga panas pembentukan akan berpengaruh terhadap daya ikat molekul apabila mendekati nilai positif. Muatan bersih atom termasuk parameter elektronik yang sangat berpengaruh terhadap interaksi antar atom yang saling berikatan.

Yeni, dkk. (2018) melakukan penelitian HKSA senyawa turunan kumarin sebagai antikanker kolon pada desain senyawa baru menggunakan substituen –NO₂, –Br, dan –NH₂. Hasil yang diperoleh menunjukkan bahwa dengan penambahan substituen –NO₂ akan meningkatkan keelektronegatifan dan sifat elektronegativitas

suatu senyawa akan semakin besar. Serta meningkatkan kekuatan aktivitas obat yang ditandai dengan semakin kecilnya nilai IC_{50} prediksi.



BAB V

PENUTUP

A. Kesimpulan

Kesimpulan pada penelitian ini adalah sebagai berikut:

1. Deskriptor yang dapat mempengaruhi aktivitas antikanker senyawa turunan aminoalkanol xanton yaitu muatan bersih atom, energi total, luas permukaan jaringan, panas pembentukan, dan momen dipol.
2. Model persamaan Hubungan Kuantitatif Struktur-Aktivitas (HKSA) terpilih pada senyawa turunan aminoalkanol xanton terhadap aktivitas antikanker adalah Model 3 dengan $\text{Log IC}_{50} = 4.308 - (0.00004*ET) - (0.014*SAG) + (0.174*MD) + (0.00002*\Delta H_f) + (14.214*qC1) + (1.137*qC2) - (13.559*qC3) - (23.659*qC10)$ dengan $R = 0.997$; $R^2 = 0.995$; $SE = 0.067$; $F_{hitung} = 67.874$; $F_{tabel} = 8.845$; $F_{hitung}/F_{tabel} = 7.674$; $PRESS = 2.02$.
3. Diperoleh hasil prediksi aktivitas antikanker dari senyawa baru hasil modifikasi senyawa turunan aminoalkanol xanton yang lebih berpotensi menghambat aktivitas sel kanker. Senyawa hasil modifikasi yang baik yaitu *3-[2-hydroxy-3-(propan-2-ylamino)propoxy]-9H-Xanthen-9-one*, *3-chloro-6-{2-hydroxy-3[(2-hydroxyethyl)(methyl)amino]propoxy}-9H-Xanthen-9-one*, dan *3-chloro-6-[2-hydroxy-3-(prop-2-en-1-ylamino)propoxy]-9H-Xanthen-9-one* dengan nilai Log IC_{50} berturut-turut sebesar 1.84; 1.59; dan 1.42.

B. Saran

Saran pada penelitian ini adalah sebaiknya dilakukan sintesis dan pengujian secara *in vitro* agar dapat memprediksi dengan tepat aktivitas antikanker dari senyawa turunan aminoalkanol xanton.

DAFTAR PUSTAKA

- Al-Qur'anul Karim, 2013.
- Alam, S. & Khan, F. "QSAR and Docking Studies on Xanthone Derivatives for Anticancer Activity Targeting DNA Topoisomerase IIa". *Drug Design, Development and Therapy* 8 (2014): p. 183-195.
- Almi, Z., Belaidi, S., Lanez, T., Tchouar, N. "Structure Activity Relationships, QSAR Modeling and Drug-like Calculations of TP Inhibition of 1,3,4-oxadiazoline-2-thione Derivatives". *International Letters of Chemistry, Physics and Astronomy* 37, no. 1 (2014): p. 113-124.
- Amin, Saeful. "Hubungan Kuantitatif Struktur-Aktivitas Antibakteri Turunan Benzimidazol Menggunakan Metode PM3". *Jurnal Kesehatan Bakti Tunas Husada* 12, no. 1 (2014): h. 254-261.
- Ananto, A.D., Erwinayanti, G.A.P.S., Muliastuti, H. "Desain Turunan Fluoroquinolon Baru sebagai Zat Antibakteri Terhadap *S.typhimurium* Melalui Komputasi Kimia". *Kedokteran* 7, no. 2 (2018): h. 1-5.
- Arba, M., Ruslin, Nursan, Maulidiyah, Tjahjono, D.H. "Hubungan Kuantitatif Struktur-Aktivitas (HKSA) dan Penambatan Molekul Senyawa Turunan Benzamida sebagai Inhibitor Alosterik *Mitogen Enhanced Kinase* (MEK)". *Kimia Valensi* 4, no. 1 (2018): h. 42-51.
- Arba, Muhammad. *Buku Ajar Farmasi Komputasi*. Yogyakarta: Deepublish, 2019.
- Arifianti, L., Sukardiman, H.S., Rakhmawati, L.M. "Uji Aktivitas Ekstrak Biji Sirsak (*Annona muricata* L.) terhadap Sel Kanker Mamalia secara *In Vitro*". *Farmasi dan Ilmu Kefarmasian Indonesia* 1, no. 2 (2014): h. 63-66.
- Asmara, A.P., Mudasir, Siswanta, D. "Analisis Hubungan Kuantitatif Struktur dan Aktivitas Senyawa Turunan Triazolopiperazin Amida Menggunakan Metode Semiempiris AM1". *Islamic Science and Technology* 1, no. 2 (2015): h. 125-138.
- Asmara, A.P., Mudasir, Siswanta, D. "Penentuan Metode Komputasi untuk Analisis Hubungan Kuantitatif Struktur dan Aktivitas Senyawa Turunan Triazolopiperazin Amida". *Islamic Science and Technology* 1, no. 1 (2015): h. 20-30.
- Aulani, F.N dan Muchtaridi. "Aspek Kimia Medisinal Senyawa Xanton sebagai Anti Kanker". *Farmaka* 14, no. 2 (2019): h. 346-358.
- Carneiro, S.S., Lima, A.R., Marinho, M.M., Marinho, E.S. "In Silico Study of the Therapeutic Agent in the Treatment of Non-Hodgkin's Lymphomas, Peripheral T-Cell Belinostat, a Semi-Empirical Approach". *Interdisciplinary and Research* 2, no. 8 (2016): p. 1645-1648.
- Dewi, Makassari. "Sebaran Kanker di Indonesia, Riset Kesehatan Dasar 2007". *Indonesian Journal of Cancer* 11, no. 1 (2017): h. 1-8.

- Dewi, N.S.A dan Sanjaya, I.G.M. “Study Komputasi Aktivitas Senyawa Turunan Mangiferin sebagai Anti Diabetes Tipe 1 Menggunakan Metode HKSA (Hubungan Kuantitatif Struktur dan Aktivitas) dan Penambatan Molekul”. *Chemistry* 7, no. 1 (2018): h. 8-14.
- Fadhilah dan Tjahjono. “Hubungan Kuantitatif Struktur dan Aktivitas Senyawa Turunan 3-Haloasilaminobenzoilurea sebagai Inhibitor Pembentukan Mikrotubulus”. *Acta Pharmaceutical Indonesia* 37, no. 3 (2012): h. 76-82.
- Fadilla, D., Arifian, H., Rahmadani, A., Rusli, R. “Kajian *In Silico* Senyawa Turunan Klorokalkon sebagai Antikanker”. *Mulawarman Pharmaceuticals Conferences* 1, no. 1 (2018): h. 45-50.
- Fiesel, T., Gaid, M., Muller, A., Bartels, J., El-Awaad, I., Beuerle, T., Ernst, L., Behrends, S., Beerhues, L. “Molecular Cloning and Characterization of a Xanthone Prenyltransferase from *Hypericum calycinum* Cell Cultures”. *Molecules* 20 (2015): p. 15616-15630.
- Genovese, S., Fiorito, S., Taddeo, V.A., Epifano, F. “Recent Developments in the Pharmacology of Prenylated Xanthenes”. *Drug Discovery Today* 21, no. 11 (2016): p. 1814-1819.
- Hadanu, R., Idris, S., Sutapa, I.W. “QSAR Analysis of Benzothiazole Derivatives of Antimalarial Compounds Based on AM1 Semi-Empirical Method”. *Indonesian Journal Chemistry* 15, no. 1 (2015): p. 86-92.
- Hadanu, Ruslin. “a QSAR Analysis of Flavone Derivatives of Antimalarial Compounds Based on PM3 Semiempirical Method”. *Asian Journal of Chemistry* 30, no. 1 (2018): p. 148-156.
- Hadanu, Ruslin. “Modeling of Quinoacridinium Derivatives as Antitumor Agents using a QSAR Analysis”. *Indonesian Journal of Pharmacy* 30, no. 3 (2019): p. 167-179.
- Kementerian Agama RI. *Al-Qur'an dan Terjemahnya*. Surabaya: Halim Publishing & Distributing, 2013.
- Kementerian Kesehatan Republik Indonesia. Laporan Riset Penyakit Tidak Menular Tahun 2016. Badan Penelitian dan Pengembangan Kesehatan, 2016.
- Kilo, J.L. dan Kilo, A.L. “Kajian HKSA Antimalaria Senyawa Turunan Quinolone-4(1H)-imines Menggunakan Metode MLR-ANN”. *Journal Chemistry* 1, no. 1 (2019): h. 21-26.
- Madury, S., Fakhrunnisa, F., Amin, A. “Pemanfaatan Kulit Manggis (*Garcinia mangostana* L.) sebagai Formulasi Tablet Antikanker yang Praktis dan Ekonomis”. *Khazanah* 5, no. 2 (2012): h. 1-11.
- Magallanes, B.O., Perez, D.E., Chaverri, J.P. “Medicinal Properties of Mangosteen (*Garcinia mangostana* L.) a Comprehensive Update”. *Food and Chemical Toxicology* 109 (2017): p. 102-122.
- Mahani, N.M & Sabermahani, F. “QSAR Study of Diarylpyridazine Derivatives as Anti-HIV Agents using Density Functional Theory”. *Science and Research* 3, no. 11 (2014): p. 2628-2633.

- Male, Yusthinus. T. "Prediksi Potensi Antikanker Senyawa Turunan Xanton Menggunakan Hubungan Kuantitatif Struktur dan Aktivitas (HKSA)". *Chemistry* 11, no. 1 (2018): h. 1-6.
- Maligan, J.M., Chairunnisa, F., Wulan, S.N. "Peran Xanthon Kulit Buah Manggis (*Garcinia mangostana*. L) sebagai Agen Antihiperqlikemik". *Ilmu Pangan dan Hasil Pertanian* 2, no. 2 (2018): h. 99-106.
- Miladiyah, Isnatin & Rachmawaty, Farida, J. "Potency of Xanthone Derivatives as Antibacterial Agent against Methicillin-Resistant *Staphylococcus Aureus* (MRSA)". *Medicine and Health* 8, no. 2 (2017): p. 124-135.
- Miladiyah, Isnatin, "Biological Activity, Quantitative Structure-Activity Relationship Analysis, and Molecular Docking of Xanthone Derivatives as Anticancer Drugs". *Drug Design, Development and Therapy* 12 (2018): p. 149-158.
- Miladiyah, I., Tahir, I., Jumina, Mubarika, S., Mustofa. "Quantitative Structure-Activity Relationship Analysis of Xanthone Derivates as Cytotoxic Agents in Liver Cancer Cell Line HepG2". *Molecul* 11, no. 1 (2016): p. 143-157.
- Mollazadeh, S., Shamsara, J., Iman, M., Hadizadeh, F. "Docking and QSAR Studies of 1,4 Dihydropyridine Derivatives as Anti-Cancer Agent". *Recent Patents on Anti-Cancer Drug Discovery* 12 (2017): h. 174-185.
- Moon, U. R., Sircar, D., Barthwal, R., Sen, S.K., Beuerle, T., Beerhues, L., Mitra, A. "Shoot Cultures of *Hoppea Fastigiata* C.B. Clarke as Potential Source of Neuroprotective Xanthones". *Nat Med* 69 (2015): p. 375-386.
- Morelli, C.F., Biagiotti, M., Pappalardo, V.M., Rabuffetti, M., Speranza, G. "Chemistry of α -mangostin. Studies on the Semisynthesis of Minor Xanthones from *Garcinia mangostana*". *Natural Product Research* 00, no. 0 (2014): p. 1-6.
- Muchtaridi, Yanuar. A., Megantara, S., Purnomo, H. *Kimia Medisinal: Dasar-dasar dalam Perancangan Obat Edisi Pertama*. Jakarta: Prenadamedia Group, 2018.
- Mulatsari, E., Martati, T., Mumpuni, E., Hidayat, A.M. "Analisis QSAR Senyawa Turunan Diosmetin sebagai Antioksidan Baru dengan Metode Semi Empirik AM1". *Jurnal Farmasi Indonesia* 11, no. 2 (2019): h. 51-57.
- Mushlihin, Ahmad, A. "Hubungan Kuantitatif Struktur Aktivitas (HKSA) Turunan Asam Sinamat Terhadap Sel P388". *Skripsi*. Jakarta: Fakultas Kedokteran dan Ilmu Kesehatan UIN Syarif Hidayatullah Jakarta, 2015.
- Ngatin, A dan Hulupi, M. "Ekstraksi Kulit Buah Manggis secara Refluk dan Sokletasi Menggunakan Pelarut Etanol". *Sains dan Teknologi* 1, no. 1 (2014): h. 1-4.
- Nindita, L.D. dan Sanjaya. IGM. "Modeling Hubungan Kuantitatif Struktur dan Aktivitas (HKSA) Pinocembrin dan Turunannya sebagai Antikanker". *Journal of Chemistry* 3, no. 2 (2014): h. 26-34.

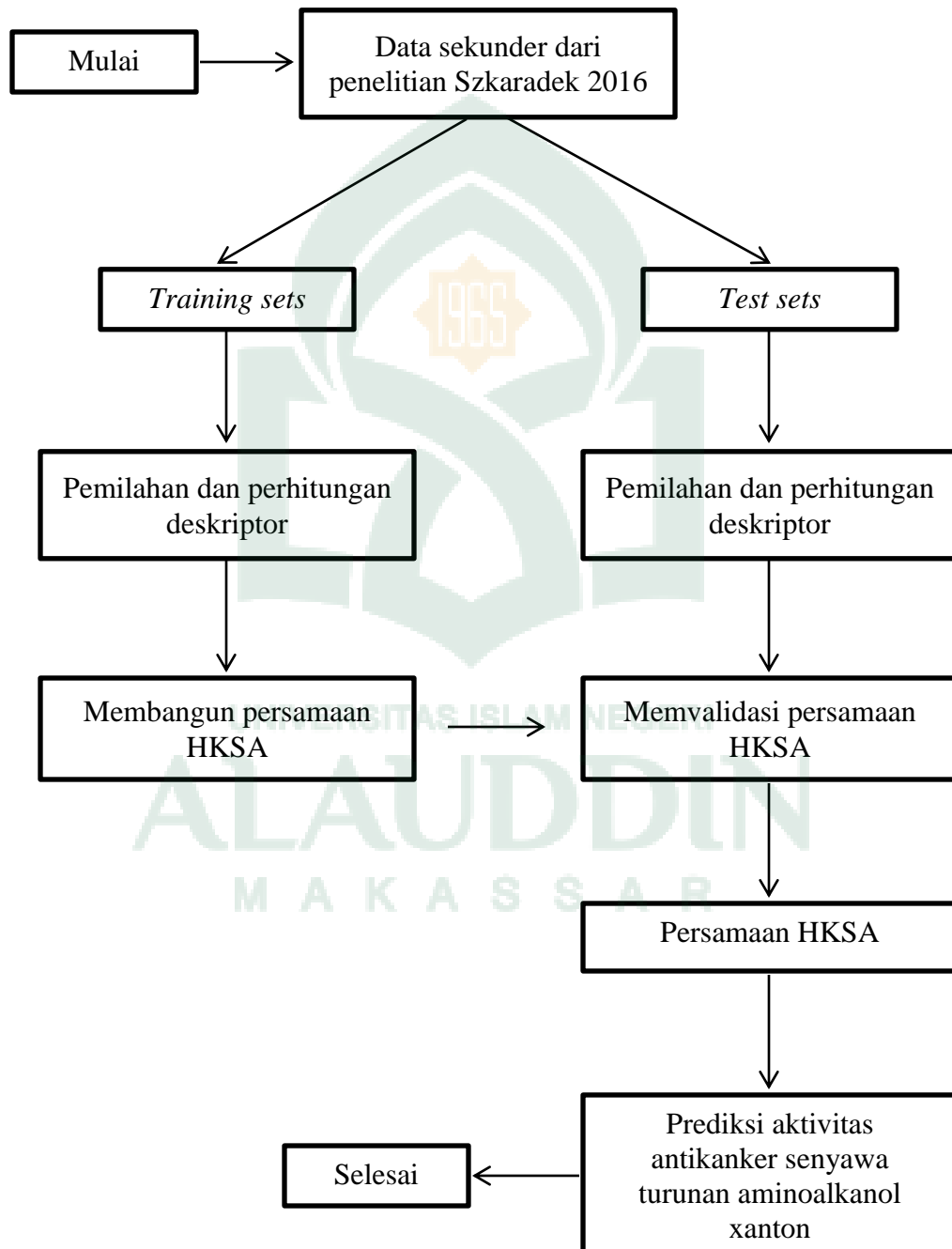
- Nisa, FK., Kasmui, K., Harjito, H. "Uji Aktivitas Antioksidan pada Modifikasi Senyawa Khrisin dengan Gugus Alkoksi Menggunakan Metode *Recife Model 1* (RM1)". *Jurnal MIPA* 38, no. 2 (2015): h. 160-168.
- Noorbacha, I.A., Hamzah, F., Salleh, H.M., Idis, S.Z. "Prediction of Anticancer Activity of Aliphatic Nitrosoureas using Quantum Chemical Quantitative Structure Activity Relation (QSAR) Methods". *African Journal of Biotechnology* 10, no. 81 (2011): p.18863-18868.
- Nugraha, G., Indriani, O., Chan, L.Z.. "Pengembangan Senyawa Turunan Indol sebagai Anti Histamin 4 dengan Pemodelan Hubungan Kuantitatif Struktur Aktivitas Menggunakan Metode Semiempiris *Austin Model 1*". *Ilmiah Multi Science Kesehatan* 11, no. 1 (2019): h. 213-224.
- Patrick, Graham, L. *an Introduction to Medicinal Chemistry*. Oxford: Oxford University Press, 2013.
- Prasetiawati, Riska. "Studi Penambatan Molekul Senyawa Turunan Xanton dari Kulit Buah Manggis Terhadap ER- α (Reseptor Estrogen Alfa) dan ER- β (Reseptor Estrogen Beta) sebagai Antikanker Payudara". *Farmako Bahari* 10, no. 1 (2019): h. 45-52.
- Putri, Indah, P. "Effectivity of Xanthone of Mangosteen Rind as Anticancer". *Majority* 4, no. 1 (2015): p. 33-38.
- Rakhman, K.A., Jayali, A.M., Abdjan, M.I., Ahmad, A.U., Putra, C.A.R. "1.10 Phenantrolin as Anti-Radiation UV Agent: Spectrophotometry Analysis and Modeling". *Global Journal of Science Frontier Research: B Chemistry* 18, no. 3 (2018): p. 1-7.
- Rakhman, Khusna A. "Kajian Senyawa Turunan Benzopirazin sebagai Antimalaria Menggunakan Metode HKSA dan MLR". *Jurnal Kimia dan Pendidikan* 4, no. 2 (2019): h. 112-126.
- Rao, C.V., Asch, A.S., Yamada, H.Y. "Frequently Mutated Genes/ Pathways and Genomic Instability as Prevention Targets in Liver Cancer". *Carcinogenesis* 38, no. 1 (2017): p. 2-11.
- Reges, M., Marinho, M.M., Marinho, E.S. "Semi-Empirical Study of the Drug Riociguat, an Important Drug for Oral Treatment against Chronic Thromboembolic Pulmonary Hypertension". *International Journal of Scientific Engineering and Science* 1, no. 1 (2017): p. 13-17.
- Riyanto, S. dan Hatmawan, A.A. *Metode Riset Penelitian Kuantitatif Penelitian di Bidang Manajemen, Teknik, Pendidikan, dan Eksperimen*. Yogyakarta: Deepublish, 2020.
- Rohman, Abdul. *Validasi dan Penjaminan Mutu Metode Analisis Kimia*. Yogyakarta: Gadjah Mada University Press, 2014.
- Roy, K., Kar, S., Das, R.N. *Basics of QSAR for Applications in Pharmaceutical Sciences and Risk Assessment*. Kolkata: Academic Press is an imprint of Elsevier, 2015.

- Rusdin, Agus. “ α -Mangostin dari Buah Manggis, Kandidat Obat Antikanker Baru”. *Farmasetika* 4, no. 2 (2019): h. 28-31.
- Samosir, N., Siagian, P., Bangun, P. “Analisa Metode *Backward* dan Metode *Forward* untuk Menentukan Persamaan Regresi Linier Berganda”. *Saintia Matematika* 2, no. 4 (2014): h. 345-360.
- Santosa, P.B. dan Hamdani, M. *Statistika Deskriptif dalam Bidang Ekonomi dan Niaga*. Jakarta: Erlangga, 2007.
- Setyanto, N.W. dan Lukodono, R.P. *Teori dan Aplikasi Desain Eksperimen Taguchi*. Malang: UB Press, 2017.
- Siegel, R.L., Miller, K.D., Jemal, A. “*Cancer Statistics 2018*”. *Clin* 20 (2018): h. 7-30.
- Suharyadi dan Purwanto. *Statistika untuk Ekonomi dan Keuangan Modern Edisi Kedua*. Jakarta: Salemba Empat, 2009.
- Susanti, Meri. “Farmakokinetika dan *Bioavailability* Senyawa Golongan Santon *Review Komprehensif*”. *Penelitian Farmasi Indonesia* 8, no. 2 (2019): h. 46-51.
- Swantara, I.M.D dan Rita, W.S. “Aktivitas Antikanker Ekstrak *Spons Hyrtios erecta*” *Indonesian Journal of Cancer* 9, no. 4 (2015): h. 141-145.
- Sypniewski, D., Szkaradek, N., Loch, T., Waszkielewicz, A.M., Krzyzak, A.G., Matczynska, D., Soltysik, D., Marona, H., Bednarek, I. “*Contribution of Reactive Oxygen Species to the Anticancer Activity of Aminoalkanol Derivatives of Xanthone*”. *Invest New Drugs* 1 (2017): p. 1-15.
- Szkaredek, N., Sypniewski, D., Waszkielewicz, A.M, Krzyzak, A.G., Galilejczyk, A., Galka, S., Marona, H., Bednarek, I. “*Synthesis and in vitro Evaluation of the Anticancer Potential of New Aminoalkanol Derivatives of Xanthone*”. *Anti-cancer Agents in Medical Chemistry* 1, no. 16 (2016): p. 1587-1604.
- Tuslinah, Lilis. “Uji Reaktivitas Antioksidan Senyawa *s-allyl cysteine* dan *s-allyl-mercapto-l-cysteine* dengan Metode Kimia Komputasi PM3”. *Jurnal Kesehatan Bakti Tunas Husada* 9, no. 1 (2013): h. 36-42.
- Utomo, Suryadi B. “Analisis Hubungan Kuantitatif Struktur dan Aktivitas Analgesik Senyawa Turunan Meperidin Menggunakan Metode Semiempiris AM1”. *Jurnal Kimia dan Pendidikan Kimia* 2, no. 3 (2017): h. 158-168.
- Vaulina, Eva Y.D. “Hubungan Kuantitatif Struktur-Aktivitas (HKSA) Antikanker Senyawa Turunan Kalanon dengan Metode Semi Empiris PM3 (*Parameterized Model 3*)”. *Molekul* 7, no. 2 (2012): h. 130-142.
- Wibowo, Y.M., Mudasir, Pranowo, H.D. “*Quantitative Structure-Activity Relationship of Organophosphate Insecticides using Electronic and Molecular Parameters*”. *Science* 21, no. 3 (2017): p. 131-135.
- Yeni, Supandi, Khalishah, Y. “HKSA dan Penambatan Molekuler Senyawa Turunan Kumarin sebagai Antikanker Kolon”. *Bioeduscience* 1, no. 2 (2018): h. 45-52.

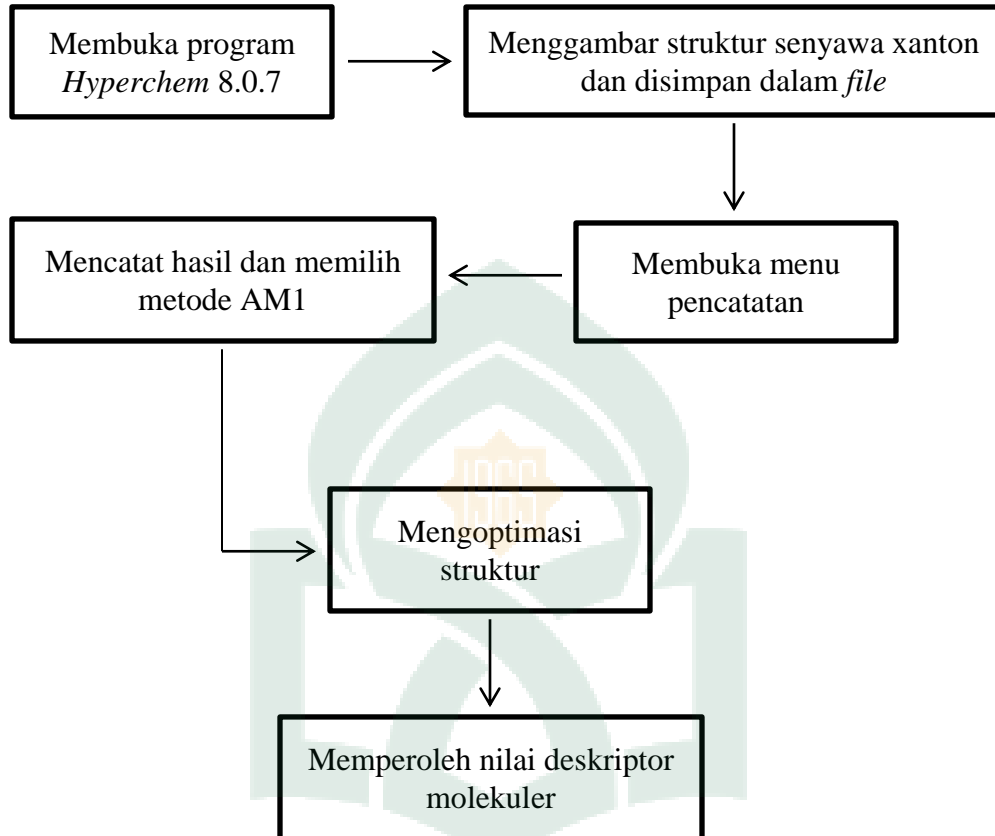
LAMPIRAN

Lampiran 1. Alur Penelitian

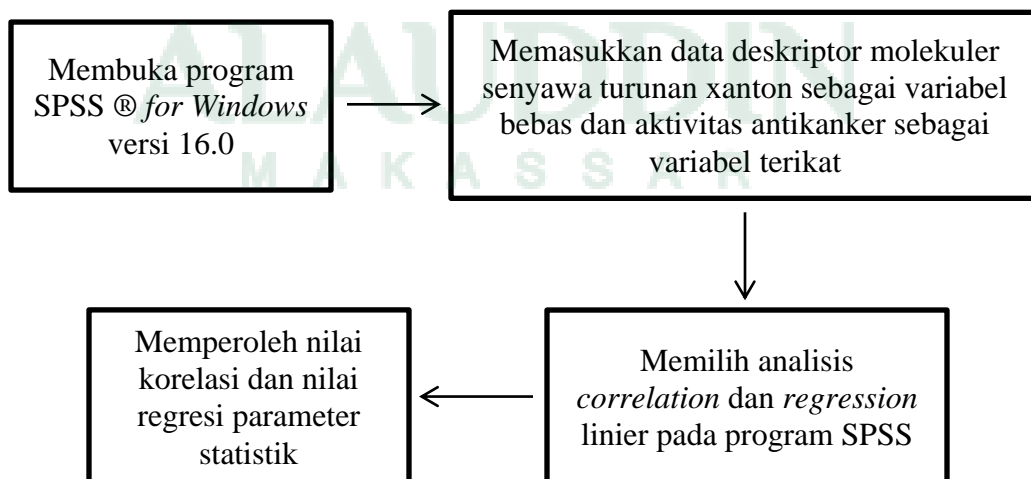
1.1 Hubungan Kuantitatif Struktur-Aktivitas



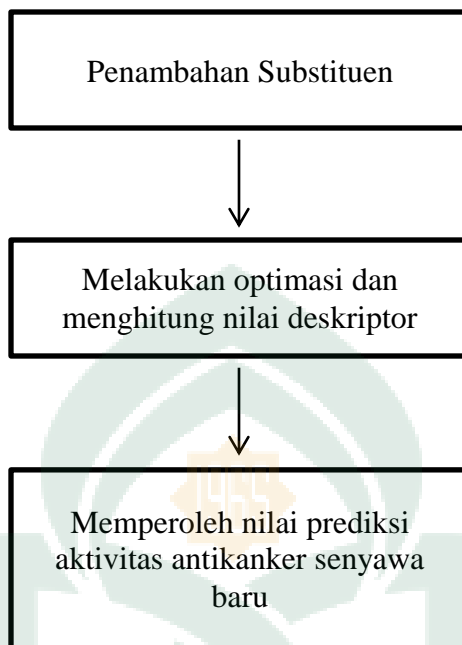
1.2 Optimasi Geometri



1.3 Analisis Statistik HKSA

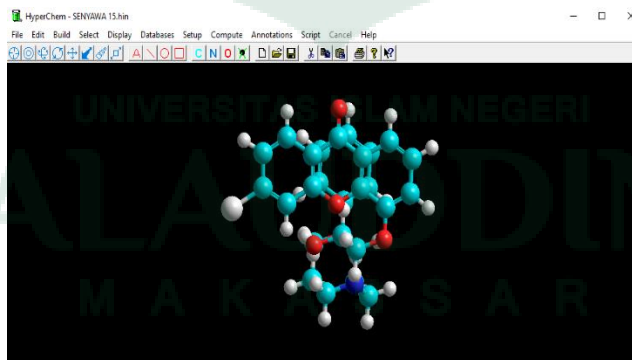


1.4 Perhitungan Nilai Aktivitas Antikanker Prediksi



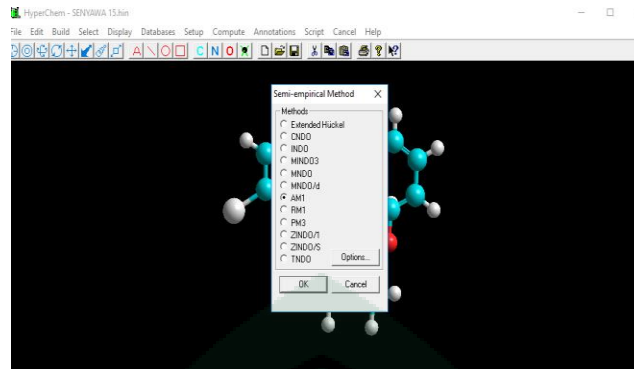
Lampiran 2. Prosedur Kerja HKSA

2.1 Pembuatan dan Pemodelan Struktur 3D pada *HyperChem*



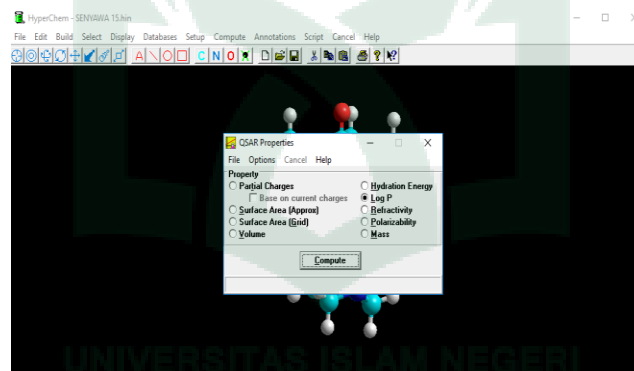
Struktur yang telah dibuat pada *HyperChem* selanjutnya ditambahkan atom hidrogen dengan cara *Build* → *Add H & Model Build* → klik kiri

2.2 Pemilihan Metode Semiempiris Austin Model 1



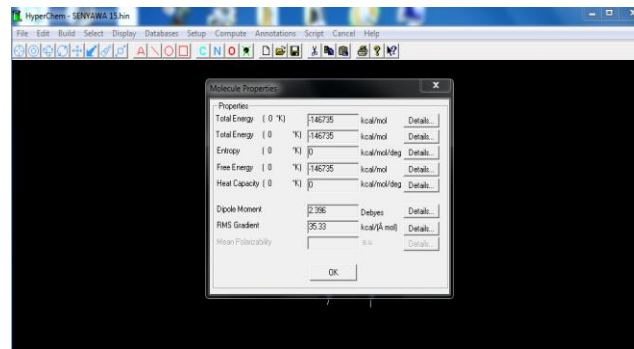
Pemilihan metode semiempiris dengan cara pilih *Setup* → *Semi-empirical* → metode *AM1* → *OK*

2.3 Perhitungan Nilai Deskriptor



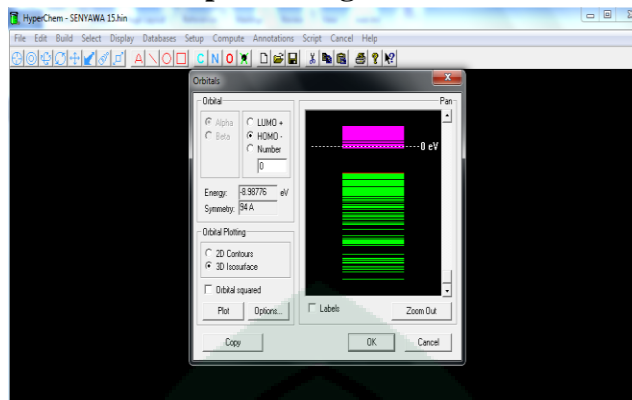
Nilai deskriptor dihitung dengan cara pilih *Compute* → *Single Point* → *QSAR Properties* → Pilih deskriptor → klik *Compute*

2.4 Perhitungan Nilai Deskriptor Momen Dipol



Nilai momen dipol dengan cara pilih *Compute* → *Single Point* → *Properties*

2.5 Perhitungan Nilai Deskriptor Energi HOMO dan LUMO



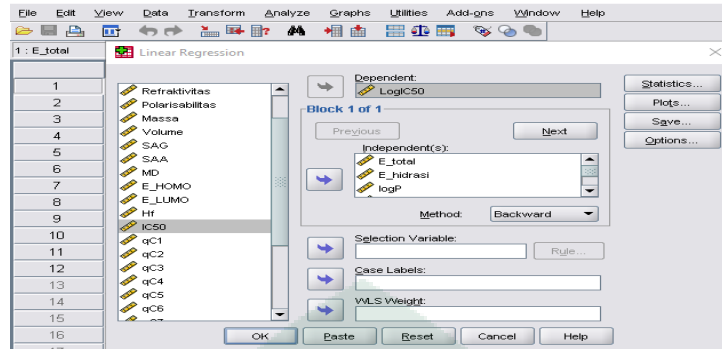
Nilai energi HOMO dan LUMO dihitung dengan cara pilih *Compute* → *Single Point*
→ *Orbitals* → pilih HOMO dan LUMO

2.6 Rekapitulasi Data *Training Sets* dan *Test Sets*

REKAP DATA BARU - Microsoft Excel

	A	B	C	D	E	F	G	H	I	J	K	L	M	N	O
1	Senyawa	E _{total}	E _{hidrasi}	logP	Refraktivitas	Polarisabilitas	Massa	Volume	SAG	SAA	MD	E _{HOMO}	E _{LUMO}	ΔHf	IC50
2	1	-104218.96	-8.27	-0.18	107.97	39.18	355.43	1077.24	637.89	603.01	4.08	-8.92	-0.78	-71.45	96.16
3	2	-110928.63	-9.03	-1.00	108.54	39.05	369.42	1050.00	620.41	526.07	3.52	-8.82	-0.71	-61.79	400.1
4	3	-109669.66	94.29	-0.20	116.56	42.91	399.49	1169.84	666.70	4297.81	7.24	-8.32	-0.84	9000.66	400.1
5	4	-112815.56	-4.98	-0.88	114.70	41.79	384.48	1123.47	656.06	567.19	4.43	-8.40	-0.46	14.43	218.78
6	5	-131096.07	-8.50	0.16	144.26	51.26	458.56	1306.72	749.73	618.55	4.26	-8.80	-0.69	105.89	66.83
7	7	-99955.02	-10.47	-0.27	103.33	37.16	339.39	1019.67	607.45	540.01	2.13	-9.10	-0.83	-24.16	40.6
8	8	-100626.94	-7.81	-0.26	103.33	37.35	341.41	1035.74	619.46	564.58	1.96	-8.96	-0.75	-66.27	316.23
9	10	-107724.78	-4.62	0.18	113.27	41.02	369.46	1105.60	637.80	622.62	2.40	-8.95	-0.73	9.57	400.1
10	12	-113284.47	-16.53	-2.32	106.80	38.63	379.84	1050.89	620.85	563.05	1.28	-9.21	-0.34	-34.34	52.1
11	13	-104664.04	-11.41	-0.65	103.76	37.25	359.81	1009.81	602.63	536.13	0.73	-9.20	-1.03	-22.68	22.39
12	14	-117516.05	-7.58	-0.96	113.39	40.97	403.86	1051.35	594.69	495.71	2.37	-8.90	-1.04	1648.13	400.1
13	15	-146734.00	-7.69	-0.80	151.31	53.82	509.00	1360.86	757.92	615.38	3.73	-9.17	-0.89	113.58	48.9
14															
15															
16															
17	Senyawa	E _{total}	E _{hidrasi}	logP	Refraktivitas	Polarisabilitas	Massa	Volume	SAG	SAA	MD	E _{HOMO}	E _{LUMO}	ΔHf	IC50
18	6	-137112.90	-7.20	-0.11	130.68	47.82	454.52	1310.32	769.12	681.98	3.16	-8.87	-0.74	-83.75	400.1
19	9	-104198.74	-6.99	-0.18	107.97	39.18	355.43	1065.64	626.44	585.42	2.25	-9.12	-0.82	-51.23	400.1
20	11	-107931.43	-12.36	-1.10	105.75	37.99	357.41	1043.59	619.72	573.31	2.15	-9.10	-0.81	-21.62	154

2.9 Analisis Regresi Multilinear



Data *training sets* diinput ke program SPSS selanjutnya dilakukan analisis regresi dengan cara pilih *Analyze* → *Regression* → *Linear*. Pilih Log IC₅₀ sebagai variabel *dependent* dan variabel lain sebagai variabel *independent* → pilih metode *Backward* → klik *OK*

2.10 Hasil Validasi HKSA pada Program SPSS

Variables Entered/Removed^b

Mode	Variables Entered	Variables Removed	Method
1	qC10, Hf, SAG, qC3, qC2, qC7, qC1, logP, MD, E_total	.	Enter
2	.	qC7	Backward (criterion Probability of F-to-remove >= .100).
3	.	logP	Backward (criterion Probability of F-to-remove >= .100).
4	.	Hf	Backward (criterion Probability of F-to-remove >= .100).
5	.	qC2	Backward (criterion Probability of F-to-remove >= .100).

a. All requested variables entered.

b. Dependent Variable: LogIC50

Model Summary

Model	R	R Square	Adjusted R Square	Std. Error of the Estimate
1	.999 ^a	.999	.989	.05022
2	.999 ^b	.999	.994	.03671
3	.997 ^c	.995	.980	.06660
4	.996 ^d	.992	.979	.06854
5	.994 ^e	.987	.972	.07873

a. Predictors: (Constant), qC10, Hf, SAG, qC3, qC2, qC7, qC1, logP, MD, E_total

b. Predictors: (Constant), qC10, Hf, SAG, qC3, qC2, qC1, logP, MD, E_total

c. Predictors: (Constant), qC10, Hf, SAG, qC3, qC2, qC1, MD, E_total

d. Predictors: (Constant), qC10, SAG, qC3, qC2, qC1, MD, E_total

e. Predictors: (Constant), qC10, SAG, qC3, qC1, MD, E_total

ANOVA^f

Model		Sum of Squares	df	Mean Square	F	Sig.
1	Regression	2.419	10	.242	95.944	.079 ^a
	Residual	.003	1	.003		
	Total	2.422	11			
2	Regression	2.419	9	.269	199.438	.005 ^b
	Residual	.003	2	.001		
	Total	2.422	11			
3	Regression	2.409	8	.301	67.874	.003 ^c
	Residual	.013	3	.004		
	Total	2.422	11			
4	Regression	2.403	7	.343	73.079	.000 ^d
	Residual	.019	4	.005		
	Total	2.422	11			
5	Regression	2.391	6	.398	64.291	.000 ^e
	Residual	.031	5	.006		
	Total	2.422	11			

a. Predictors: (Constant), qC10, Hf, SAG, qC3, qC2, qC7, qC1, logP, MD, E_total

b. Predictors: (Constant), qC10, Hf, SAG, qC3, qC2, qC1, logP, MD, E_total

c. Predictors: (Constant), qC10, Hf, SAG, qC3, qC2, qC1, MD, E_total

d. Predictors: (Constant), qC10, SAG, qC3, qC2, qC1, MD, E_total

e. Predictors: (Constant), qC10, SAG, qC3, qC1, MD, E_total

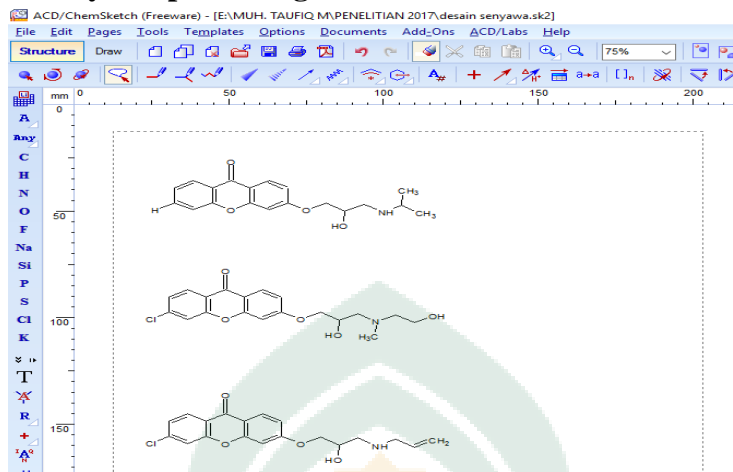
f. Dependent Variable: LogIC50

Coefficients^a

Model		Unstandardized Coefficients		Standardized Coefficients	t	Sig.
		B	Std. Error	Beta		
1	(Constant)	4.415	.890		4.962	.127
	E_total	-4.380E-5	.000	-1.258	-7.025	.090
	logP	.139	.070	.203	1.999	.295
	SAG	-.015	.001	-1.735	-11.675	.054
	MD	.145	.041	.541	3.529	.176
	Hf	2.868E-5	.000	.159	1.563	.362
	qC1	11.794	1.545	.555	7.635	.083
	qC2	1.300	.482	.203	2.696	.226
	qC3	-13.272	.737	-.857	-18.018	.035
	qC7	1.210	4.608	.023	.263	.836
qC10	-28.145	6.157	-.256	-4.571	.137	
2	(Constant)	4.196	.229		18.348	.003
	E_total	-4.507E-5	.000	-1.295	-15.782	.004
	logP	.142	.051	.206	2.806	.107
	SAG	-.015	.001	-1.761	-21.749	.002
	MD	.139	.026	.520	5.417	.032
	Hf	3.153E-5	.000	.175	2.915	.100
	qC1	11.743	1.120	.553	10.481	.009
	qC2	1.347	.327	.211	4.125	.054
	qC3	-13.332	.511	-.861	-26.072	.001
	qC10	-29.102	3.629	-.264	-8.020	.015
3	(Constant)	4.308	.409		10.546	.002
	E_total	-3.926E-5	.000	-1.128	-11.013	.002
	SAG	-.014	.001	-1.613	-14.445	.001
	MD	.174	.041	.653	4.301	.023
	Hf	2.026E-5	.000	.112	1.112	.347
	qC1	14.214	1.257	.669	11.312	.001
	qC2	1.137	.577	.178	1.972	.143
	qC3	-13.559	.916	-.875	-14.803	.001
	qC10	-23.659	5.564	-.215	-4.252	.024
4	(Constant)	4.468	.393		11.359	.000
	E_total	-3.861E-5	.000	-1.109	-10.669	.000
	SAG	-.014	.001	-1.643	-14.734	.000
	MD	.215	.019	.804	11.596	.000
	qC1	13.931	1.266	.656	11.001	.000
	qC2	.701	.435	.110	1.612	.182
	qC3	-13.118	.850	-.847	-15.442	.000
	qC10	-23.447	5.722	-.213	-4.098	.015
5	(Constant)	4.337	.442		9.811	.000
	E_total	-3.713E-5	.000	-1.067	-9.233	.000
	SAG	-.014	.001	-1.607	-12.810	.000
	MD	.231	.018	.865	13.045	.000
	qC1	13.111	1.332	.617	9.843	.000
	qC3	-12.950	.968	-.836	-13.372	.000
	qC10	-22.240	6.516	-.202	-3.413	.019

a. Dependent Variable: LogIC50

2.11 Desain Senyawa pada Program ChemSketch



2.12 Rekapitulasi Data Hasil Perhitungan Deskriptor Senyawa Baru

KODE	ET	SAG	MD	HF	C1	C2	C3	C10
AX1	-97037	594.76	3.281	-63.5	-0.03	-0.17	0.13	-0.16
AX2	-112659	627.85	2.23	-39.2	-0.03	-0.16	0.13	-0.15
AX3	-104682	618.35	2.337	-41.6	-0.03	-0.16	0.13	-0.15

2.13 Nilai Prediksi Aktivitas Senyawa Turunan Baru

$$=4.308-0.00004*A8-0.014*C8+0.174*D8+0.00002*E8+14.214*F8+1.137*G8-13.559*H8-23.659*I8$$

	A	B	C	D	E	F	G	H	I	J	K	L
16	Log IC50 PREDIKSI			KODE	ET	SAG	MD	HF	C1	C2	C3	C10
17	AX1	1.835524		AX1	-97037	594.76	3.281	-63.5	-0.03	-0.17	0.13	-0.16
18	AX2	1.589536		AX2	-112659	627.85	2.23	-39.2	-0.03	-0.16	0.13	-0.15
19	AX3	1.422026		AX3	-104682	618.35	2.337	-41.6	-0.03	-0.16	0.13	-0.15



Muh. Taufiq M atau biasa dipanggil Upi kelahiran Limbung, 19 Februari 1998. Buah kasih dari pasangan bahagia Muhsin dan Suhriati. Anak kedua dari dua bersaudara. Jenjang pendidikan pertama kali ditempuh di TK Islam Anugerah, kemudian melanjutkan pendidikan di SD Negeri Limbung Puteri, SMP Muhammadiyah Limbung, dan SMK Farmasi Syekh Yusuf Al-Makassari Gowa. Setelah tamat dari SMK Farmasi, penulis bekerja selama 2 tahun di salah satu Klinik yang ada di Makassar guna mengaplikasikan ilmu yang telah diperoleh di bangku sekolah. Pendidikan tertinggi penulis di tempuh di Universitas Islam Negeri Alauddin Makassar prodi Kimia Fakultas Sains dan Teknologi angkatan 2017. Selama kuliah penulis mengasah kemampuan melalui organisasi dan kegiatan kreativitas ilmiah skala Nasional maupun Internasional.